

## Courbes

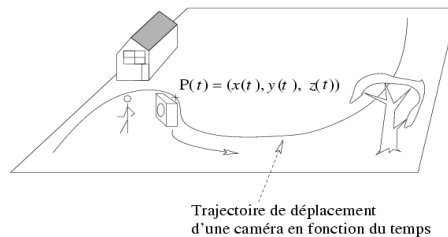
2

★

### COURBES PARAMÉTRIQUES : PRINCIPES

#### *Les courbes paramétriques vues comme des trajectoires*

- Une courbe paramétrique (paramètre  $t$ ) peut être vue comme le **déplacement d'une caméra sur une scène** en fonction du temps.
- Pour simplifier, on se limitera généralement aux **courbes en 2D** (points de coordonnées  $(x(t), y(t))$ ).  
Cependant, les courbes paramétriques s'étendent aux courbes dans l'espace :  
Les **courbes planes à points de contrôle** dans le plan s'étendent à des **courbes dans l'espace** en prenant des points de contrôle en dimension 3.



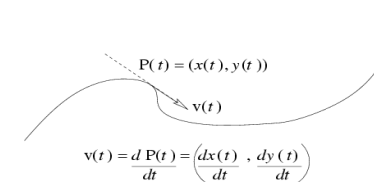
3

★★★

### COURBES PARAMÉTRIQUES : VITESSE

#### *Vitesse du déplacement*

- Le **vecteur vitesse** s'obtient en calculant les dérivées des coordonnées du point en fonction du temps.
- **Équation paramétrique de la tangente** au point  $P(t_0)$  :  
 $M(u) = P(t_0) + u \cdot v(t_0)$
- **Normale à la courbe** au point  $P(t_0)$  :  
 $n(t_0) = v^\perp(t_0) = (-dy/dt(t_0), dx/dt(t_0))$ .



4

★★★

## COURBES PARAMÉTRIQUES : CONTINUITÉ

### *Classes de continuité paramétrique*

Une courbe  $P(t)$  est continue paramétriquement de classe  $C^k$  sur l'intervalle  $[a, b]$  si **les dérivées d'ordre 1 à  $k$  de  $P$  existent et sont continues** sur cet intervalle.

### *Classes de continuité géométrique*

Pour le tracé graphique, on est plus préoccupé par la continuité géométrique : **absence de changement de direction** du vecteur tangent, mais **possibilité de changement discontinu de valeur** de la vitesse.

Une courbe  $P(t)$  est continue géométriquement de classe  $G^1$  sur l'intervalle  $[a, b]$  si **la dérivée d'ordre 1 de  $P$  est définie** et il existe  $k > 0$  tel que  $P'(c-) = k \cdot P'(c+)$  sur cet intervalle.

Une courbe  $P(t)$  est continue géométriquement de classe  $G^2$  sur l'intervalle  $[a, b]$  si **les dérivées d'ordre 1 et 2 de  $P$  sont définies** et il existe  $k > 0$  et  $k' > 0$  tels que  $P'(c-) = k \cdot P'(c+)$  et  $P''(c-) = k' \cdot P''(c+)$  sur cet intervalle.

5

★★

## COURBES PARAMÉTRIQUES POLYNOMIALES DE DEGRÉS 1 ET 2

### *Degré 1*

La courbe d'équation  $x(t) = a.t + b$  et  $y(t) = c.t + d$  est une **droite** parcourue à **vitesse constante**.

### *Degré 2*

La courbe d'équation  $x(t) = a.t^2 + b.t + c$  et  $y(t) = d.t^2 + e.t + f$  est une **parabole**.

6

★★

## ÉQUATION IMPLICITE DE DEGRÉ 2 (1/2)

### *Forme générale*

La courbe d'équation  $F(x, y) = a x^2 + 2.b.x.y + c.y^2 + d.x + e.y + f$  est une **conique**.

### *Courbes en fonction du discriminant réduit $a.c - b^2$*

- **$a.c - b^2 > 0$**  : une ellipse,
- **$a.c - b^2 = 0$**  : une parabole,
- **$a.c - b^2 < 0$**  : une hyperbole,

7

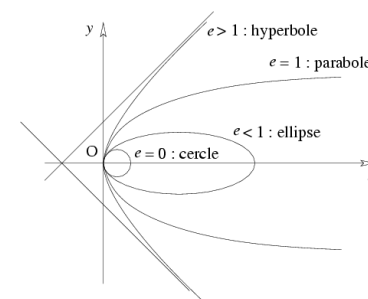
★★

## ÉQUATION IMPLICITE DE DEGRÉ 2 (2/2)

### *Équation des coniques à sommet commun*

La courbe d'équation  $y^2 = 2.p x - (1 - e^2) x^2$  est une **conique** dont un des sommets est à l'origine.  $e$  est l'**excentricité**.

### *Courbes en fonction de l'excentricité $e$*



8

★

## FONCTIONS POLYNOMIALES RATIONNELLES 1/2

### Forme générale

Fonction polynômiale rationnelle : quotient de deux polynômes de degré 2 et définie par trois points de contrôle :

$$P(t) = (P_0 \cdot (1-t)^2 + 2 \cdot w \cdot P_1 \cdot t(1-t) + P_2 \cdot t^2) / ((1-t)^2 + 2 \cdot w \cdot t(1-t) + t^2)$$

- $P_0$ ,  $P_1$  et  $P_2$  sont les **points de contrôle**,  
 $w$  est un **poids**.
- La courbe est une **conique** qui passe par  $P_0$  à  $t = 0$  et par  $P_2$  à  $t = 1$ .

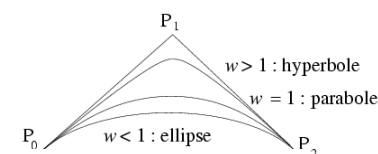
9

★

## FONCTIONS POLYNOMIALES RATIONNELLES 2/2

### Courbes en fonction du poids $w$

- $w < 1$  : une ellipse,
- $w = 1$  : une parabole,
- $w > 1$  : une hyperbole,



10

★★★

## TRACÉ INTERACTIF DE COURBES 1/2

### Principes

Associe une courbe à un ensemble de points de contrôle :

$$P(t) = f(P_1, P_2, \dots, P_n)$$

### Deux types de courbes

#### Courbe interpolée :

La courbe passe par les points définis en conservant une continuité.

#### Courbe à attracteurs :

La courbe est attirée par les points de contrôle et passe par les points extrêmes.

Elle ne passe pas nécessairement par les points intermédiaires.

11

★★★

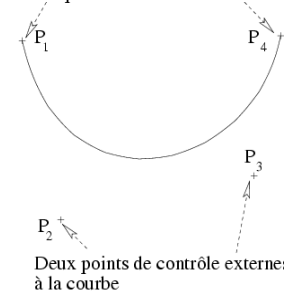
## TRACÉ INTERACTIF DE COURBES 2/2

### Exemples

- **Courbe interpolée** : Spline cubique interpolée.
- **Courbe à attracteurs** : Courbe de Bézier.

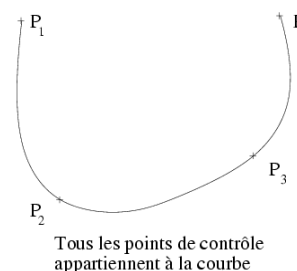
Courbe de Bézier (4 points de contrôle)

Deux points de contrôle sur la courbe



Deux points de contrôle externes à la courbe

Spline (interpolée)



Tous les points de contrôle appartiennent à la courbe

12

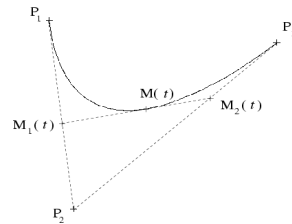
★★★

## COURBE DE BÉZIER SUR 3 POINTS 1/2

### Définition récursive de de Casteljau

Une courbe de Bézier peut se définir comme une **construction récursive de barycentres** dans les rapports  $(1 - t)$  et  $t$ . Le segment  $[M_1(t)M_2(t)]$  est **tangent** à la courbe en  $M(t)$ .

- **Niveau 1 sur  $(P_1, P_2)$**  :  $M_1(t) = (1 - t) P_1 + t P_2$
- **Niveau 1 sur  $(P_2, P_3)$**  :  $M_2(t) = (1 - t) P_2 + t P_3$
- **Niveau 2 sur  $(P_1, P_2, P_3)$**  :  $M(t) = (1 - t) M_1(t) + t M_2(t) = (1 - t)^2 P_1 + 2 t(1 - t) P_2 + t^2 P_3$



13

★★★

## COURBE DE BÉZIER SUR 3 POINTS 2/2

### Calcul matriciel avec les polynômes de Bernstein

Les coordonnées d'un point s'obtiennent comme le produit d'une matrice de monômes du paramètre  $t$ , une matrice de coefficients et une matrice de points de contrôle  $P_1, P_2, P_3$ .

$$M(t) = (1 - t)^2 P_1 + 2 t(1 - t) P_2 + t^2 P_3 \\ = B_0^2(t) P_1 + B_1^2(t) P_2 + B_2^2(t) P_3$$

$$M(t) = \begin{bmatrix} B_0^2(t) & B_1^2(t) & B_2^2(t) \end{bmatrix} \begin{bmatrix} P_1 \\ P_2 \\ P_3 \end{bmatrix} \\ M(t) = \begin{bmatrix} t^2 & t^1 & t^0 \end{bmatrix} \begin{bmatrix} 1 & -2 & 1 \\ -2 & 2 & 0 \\ 1 & 0 & 0 \end{bmatrix} \begin{bmatrix} P_1 \\ P_2 \\ P_3 \end{bmatrix}$$

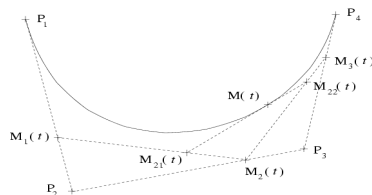
14

★★★

## COURBE DE BÉZIER SUR 4 POINTS 1/3

Définition récursive de de Casteljau: segment  $[M_{21}(t)M_{22}(t)]$  est **tangent** à la courbe en  $M(t)$ .

- **Niveau 2 sur  $(P_1, P_2, P_3)$**  :  $M_{21}(t) = (1 - t) M_1(t) + t M_2(t) = (1 - t)^2 P_1 + 2 t(1 - t) P_2 + t^2 P_3$
- **Niveau 2 sur  $(P_2, P_3, P_4)$**  :  $M_{22}(t) = (1 - t) M_2(t) + t M_3(t) = (1 - t)^2 P_2 + 2 t(1 - t) P_3 + t^2 P_4$
- **Niveau 3 sur  $(P_1, P_2, P_3, P_4)$**  :  $M(t) = (1 - t) M_{21}(t) + t M_{22}(t) = (1 - t)^3 P_1 + 3 t(1 - t)^2 P_2 + 3 t^2(1 - t) P_3 + t^3 P_4$



15

★★★

## COURBE DE BÉZIER SUR 4 POINTS 2/3

### Calcul matriciel avec les polynômes de Bernstein

Les coordonnées d'un point s'obtiennent comme le produit d'une matrice de monômes du paramètre  $t$ , une matrice de coefficients et une matrice de points de contrôle  $P_1, P_2, P_3, P_4$ .

$$M(t) = (1 - t)^3 P_1 + 3 t(1 - t)^2 P_2 + 3 t^2(1 - t) P_3 + t^3 P_4 \\ = B_0^3(t) P_1 + B_1^3(t) P_2 + B_2^3(t) P_3 + B_3^3(t) P_4$$

$$M(t) = \begin{bmatrix} B_0^3(t) & B_1^3(t) & B_2^3(t) & B_3^3(t) \end{bmatrix} \begin{bmatrix} P_1 \\ P_2 \\ P_3 \\ P_4 \end{bmatrix} \\ M(t) = \begin{bmatrix} t^3 & t^2 & t^1 & t^0 \end{bmatrix} \begin{bmatrix} -1 & 3 & -3 & 1 \\ 3 & -6 & 3 & 0 \\ -3 & 3 & 0 & 0 \\ 1 & 0 & 0 & 0 \end{bmatrix} \begin{bmatrix} P_1 \\ P_2 \\ P_3 \\ P_4 \end{bmatrix}$$

16

★★★

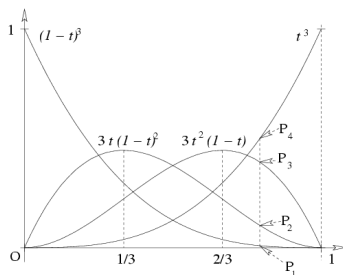
### COURBE DE BÉZIER SUR 4 POINTS 3/3

#### *Interpolation par les polynômes de Bernstein*

La **pondération des points de contrôle** dans une courbe de Bézier à 4 points est donnée par les 4 **polynômes de Bernstein** suivants :

$$B_0^3(t) = (1-t)^3, \quad B_1^3(t) = 3t(1-t)^2, \quad B_2^3(t) = 3t^2(1-t), \quad B_3^3(t) = t^3$$

La **somme** des polynômes de Bernstein est **égale à 1**.



17

★★★

### COURBE DE BÉZIER SUR n POINTS 1/4

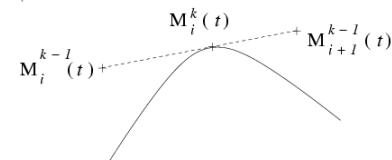
#### *Généralisation de la définition récursive de de Casteljau*

Une courbe de Bézier à  $n$  points de contrôle se définit ainsi comme une **construction récursive de barycentres** dans les rapports  $(1-t)$  et  $t$ .

Le segment  $[M_i^{k-1}(t)M_{i+1}^{k-1}(t)]$  est **tangent** à la courbe en  $M_i^k(t)$ .

$$M_i^k(t) = (1-t) M_i^{k-1}(t) + t M_{i+1}^{k-1}(t)$$

$$\begin{cases} k = 0, 1, \dots, n \\ i = 0, 1, \dots, n-k \end{cases}$$



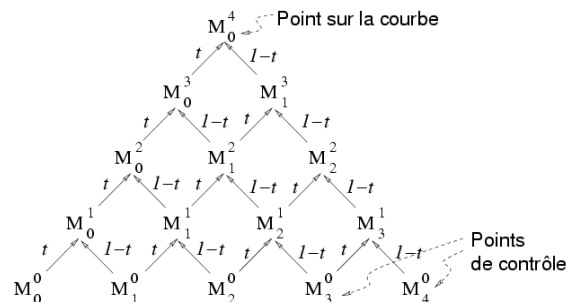
18

★★★

### COURBE DE BÉZIER SUR n POINTS 2/4

#### *Définition récursive de de Casteljau (suite et fin)*

Treillis illustrant le calcul récursif des barycentres dans le cas d'une courbe à 5 points de contrôle.



19

★★★

### COURBE DE BÉZIER SUR n POINTS 3/4

#### *Généralisation des polynômes de Bernstein*

Une courbe de Bézier à  $n$  points de contrôle se définit comme un **barycentre de ses points de contrôle** dont les coefficients sont les **polynômes de Bernstein**.

$$M(t) = \sum_{i=0}^n B_i^n(t) M_i$$

$$B_i^n(t) = \binom{n}{i} t^i (1-t)^{n-i} = \frac{n!}{i!(n-i)!} t^i (1-t)^{n-i}$$

$$\begin{cases} B_i^n(t) \in [0,1] & \text{quand } t \in [0,1] \\ \sum_{i=0}^n B_i^n(t) = 1 \end{cases}$$

20

★★★

## COURBE DE BÉZIER SUR n POINTS 4/4

### *Développement de la forme polynomiale*

En **développant et en ordonnant par rapport aux puissances de  $t$** , tout point d'une courbe de Bézier se met sous la forme:

$$M(t) = \sum_{i=0}^n t^i P_i$$

où les coefficients  $P_i$  sont des combinaisons affines des points de contrôles.

Cette forme est utile pour faire des **calculs optimisés des coordonnées d'un point courant de la courbe**:

on utilise des **techniques différentielles** (calcul récursif jusqu'à l'ordre  $n$  de la différence de valeurs entre deux points).

21

★★★

## COURBE DE BÉZIER : PROPRIÉTÉS 1/7

### *Propriétés géométriques*

#### **Interpolation aux points extrêmes**

Toute courbe de Bézier **passse par les points de contrôle extrêmes**.

Les points de contrôle intermédiaires sont des points de contrôle externes à la courbe.

#### **Invariance affine**

La **transformée affine** d'une courbe de Bézier est la courbe passant par la transformée des points.

**Attention !** La **projection n'est pas une transformation affine** (elle ne conserve pas les rapports des combinaisons affines), donc...

La projection d'une courbe de Bézier ne s'obtient pas à partir des projections des points de contrôle, dans le cas général.

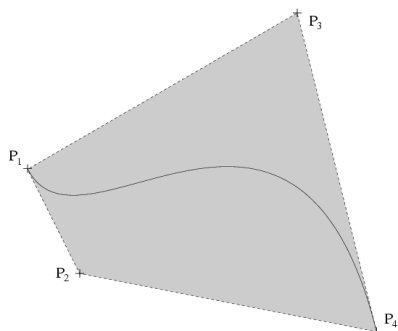
22

★★★

## COURBE DE BÉZIER : PROPRIÉTÉS 2/8

### **Enveloppe convexe**

Une courbe de Bézier appartient à l'enveloppe convexe des points qui la contrôlent.



23

★★★

## COURBE DE BÉZIER : PROPRIÉTÉS 3/8

### *Dérivée et tangente à la courbe*

#### **Forme générale de la dérivée**

$$\vec{P}'(t) = n \sum_k (P_{k+1} - P_k) B_k^{n-1}$$

#### **Tangente aux points extrêmes**

Elle est dans la **direction de l'arête du polygône** de contrôle.

Sa longueur dans un rapport  $n$  (le degré de la courbe).

$$\vec{P}'(0) = n (P_1 - P_0) = n P_0 P_1$$

$$\vec{P}'(1) = n (P_n - P_{n-1}) = n P_{n-1} P_n$$

24

★★★

## COURBE DE BÉZIER : PROPRIÉTÉS 4/8

### *Dérivée et tangente à la courbe (suite et fin)*

#### Cas d'une courbe dont le paramètre varie sur $[a,b]$

On se ramène à un paramètre variant sur  $[0,1]$  par changement de variable (translation et homothétie):

$$T = \frac{t - a}{b - a}$$

#### Tangente aux points extrêmes

Elle est dans la **direction de l'arête du polygone** de contrôle.  
Sa longueur dans un rapport  $n/(b-a)$ .

$$\vec{P}'(a) = \frac{n}{b-a}(\vec{P}_1 - \vec{P}_0)$$

$$\vec{P}'(b) = \frac{n}{b-a}(\vec{P}_n - \vec{P}_{n-1})$$

25

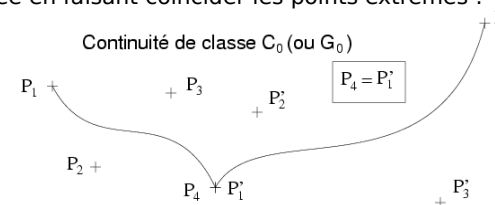
★★★

## COURBE DE BÉZIER : PROPRIÉTÉS 5/8

### *Continuité entre deux courbes de Bézier*

#### Continuité de position

Elle est assurée en faisant coïncider les points extrêmes :



26

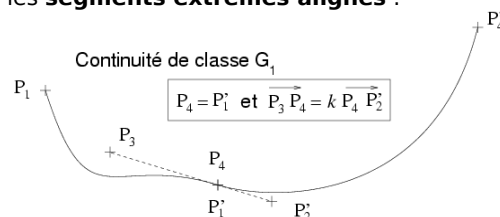
★★★

## COURBE DE BÉZIER : PROPRIÉTÉS 6/8

### *Continuité entre deux courbes de Bézier (suite)*

#### Continuité de classe $G_1$

La continuité de classe  $G_1$  est vérifiée ssi les **points extrêmes sont confondus** et les **segments extrêmes alignés** :



27

★★★

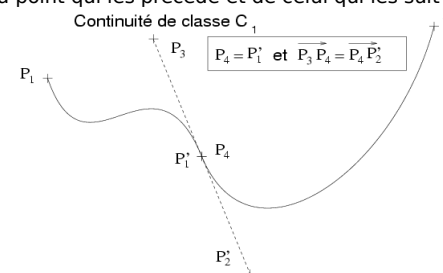
## COURBE DE BÉZIER : PROPRIÉTÉS 7/8

### *Continuité entre deux courbes de Bézier (suite)*

On se place dans le cas où les paramètres des deux courbes sont définis sur des **intervalles de même longueur**.

#### Continuité de classe $C_1$

La continuité de classe  $C_1$  est vérifiée ssi les **points extrêmes sont confondus** et **situés au milieu** du point qui les précède et de celui qui les suit :



28

★★★

## COURBE DE BÉZIER : PROPRIÉTÉS 8/8

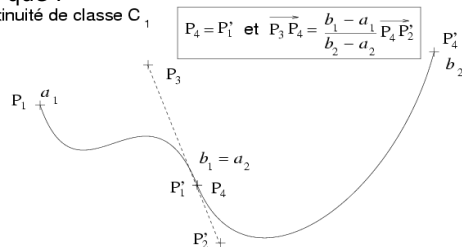
### *Continuité entre deux courbes de Bézier $B_1$ et $B_2$ (suite et fin)*

On se place dans le cas où  $t_1$ , le paramètre de  $B_1$ , est défini sur  $[a_1, b_1]$  et  $t_2$ , le paramètre de  $B_2$ , sur  $[a_2 = b_1, b_2]$ .

### **Continuité de classe $C_1$**

La continuité de classe  $C_1$  est vérifiée ssi les **points extrêmes sont confondus** et tels que :

Continuité de classe  $C_1$



29

★★★

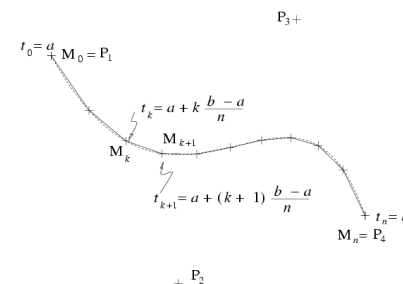
## COURBE DE BÉZIER : POLYGONISATION 1/3

### *Approximation d'une courbe paramétrique par un polygone*

**Polygonisation d'une courbe de Bézier en  $n$  pas** avec un paramètre  $t$  défini sur  $[a, b]$ .

Le paramètre  $t$  varie de  $a$  à  $b$  avec un pas de  $b-a/n$  :

Polygonisation d'une courbe paramétrique ( $n$  pas)



30

★★★

## COURBE DE BÉZIER : POLYGONISATION 2/3

### *Raffinements*

### **Optimisation**

- (1) Calculer le pas de maillage
- (2) calculer toutes les valeurs par additions du pas à la valeur précédente.

Inconvénient: erreurs cumulées.

### **Maillage adaptatif**

**Intervalle** de maillage **variable** dépendant d'une mesure: longueur du segment, courbure de la courbe.

31

★★★

## COURBE DE BÉZIER : POLYGONISATION 3/3

### *Algorithme de polygonisation d'une courbe paramétrique*

**Polygonisation d'une courbe de Bézier en  $n$  pas** avec un paramètre  $t$  défini sur  $[a, b]$ .

```
// initialisation
t = a
P = Bezier( t );
pas = ( b - a ) / n

// boucle de traçage
Pour i = 1 ; i <= n ; i++
    t' = t + pas;
    P' = Bezier( t' );
    Segment( P , P' );

    t = t';
    P = P';
Fin pour
```

32



★★★

## COURBE DE BÉZIER : SPÉCIFICATION

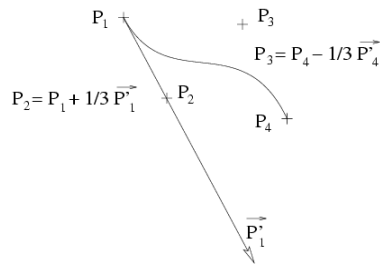
### *Éléments définitoires d'une courbe de Bézier à 4 points contrôle*

#### **Définition par les 4 points de contrôle**

Ils peuvent ne pas être coplanaires.

#### **Définition par les 2 points de contrôles extrêmes et leurs tangentes**

Les points de contrôle internes sont obtenus en prenant le tiers des tangentes aux points extrêmes.



33

★★★

## COURBE DE BÉZIER : EXEMPLES D'APPLICATIONS

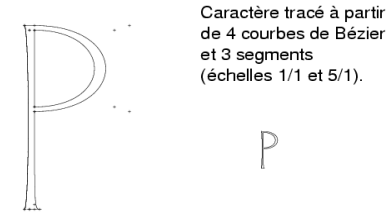
### *Dessin interactif de courbes*

Dans de nombreuses applications de **modélisation interactive** (image de synthèse, dessin vectoriel, CAO...).

#### *Polices vectorielles*

Les **polices vectorielles** postscript sont composées à partir de courbes de Bézier.

Elles sont donc grossissables sans problème d'aliasing.



Caractère tracé à partir  
de 4 courbes de Bézier  
et 3 segments  
(échelles 1/1 et 5/1).

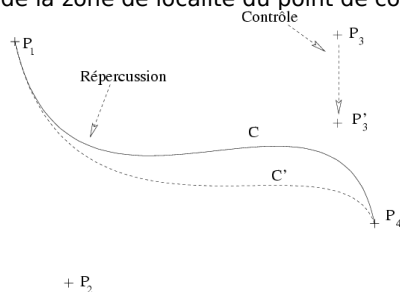
34

★

## COURBE DE BÉZIER : PROBLÈME DU CONTRÔLE SUR N POINTS

### *Non localité du contrôle*

Le déplacement d'un point de contrôle sur une courbe de Bézier a des répercussions au-delà de la zone de localité du point de contrôle.



35

★

## FONCTIONS DE PONDÉRATION IDÉALES

### *Propriétés attendues des fonctions de pondération*

- Interpolation à certains points de contrôle
- Influence locale (non étendue à l'ensemble de la zone).
- Somme à l'unité pour toute valeur de  $t$
- Bonne continuité

36

## ★ DÉFINITION DES COURBES SPLINE

### Définition

Une **spline de degré  $n$**  est une fonction polynômiale par morceaux de degré  $n$  qui est continue de classe  $C^{n-1}$  à chaque noeud.

Une **courbe spline** est définie par  $n+1$  points de contrôle et  $n+1$  fonctions de pondération :

$$P = P_0 R_0(t) + P_1 R_1(t) + \dots + P_n R_n(t)$$

- Les fonctions de pondérations sont définies sur des intervalles  $[t_k, t_{k+1}]$ .

$T = (t_0, t_1, \dots, t_{n+1})$  est appelé **vecteur de points nodaux**.

- Les fonctions de pondération sont des **splines d'ordre  $m$**  (des polynômes par morceaux continus d'ordre  $m-1$  aux noeuds).

### Cas particulier

- Les **courbes de Bézier** sont des courbes splines

37

## ★ DÉFINITION DES COURBES B-SPLINE (SPLINES DE BASE)

### Définition

Une courbe **B-spline d'ordre  $m$**  est définie par :

- un vecteur de noeuds  $T = (t_0, t_1, \dots, t_{n+1})$ ,
- $n+1$  points de contrôle  $P_k$
- $n+1$  fonctions de pondération  $S_{m,k}$  définies récursivement sur des intervalles  $[t_k, t_{k+1}]$  :

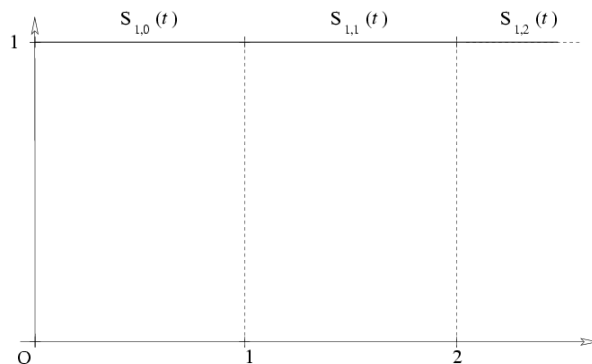
$$S_{m,k}(t) = \frac{t - t_k}{t_{k+m-1} - t_k} S_{m-1,k}(t) + \frac{t_{k+m} - t}{t_{k+m} - t_{k+1}} S_{m-1,k+1}(t)$$

38

## ★ B-SPLINE D'ORDRE 1: FONCTION DE PONDÉRATION

### Fonction de pondération $S_1$ des B-splines d'ordre 1

$$0 \leq t \leq 1 : S_{1,0}(t) = 1$$



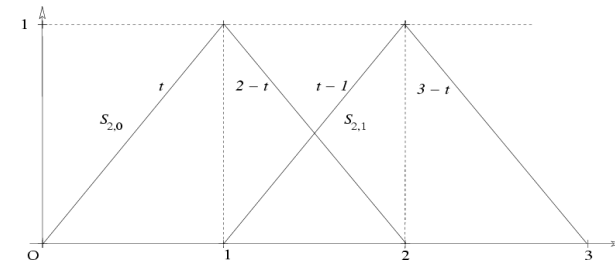
39

## ★ B-SPLINE D'ORDRE 2: FONCTION DE PONDÉRATION

### Fonction de pondération $S_2$ des B-splines d'ordre 2

$$\begin{aligned} 0 \leq t \leq 1 : S_{2,0}(t) &= t, \\ 1 \leq t \leq 2 : S_{2,0}(t) &= 2 - t \end{aligned}$$

Définition récursive :  $S_{2,0}(t) = (t-0)/(1-0) \cdot S_{1,0}(t) + (2-t)/(2-1) \cdot S_{1,1}(t)$



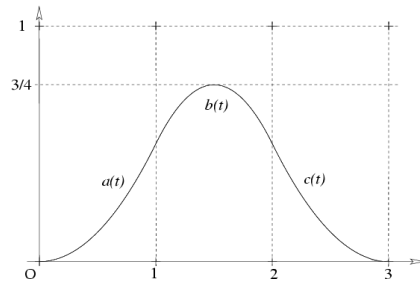
40

★

## B-SPLINE D'ORDRE 3: FONCTION DE PONDÉRATION

Fonction de pondération  $S_3$  des B-splines d'ordre 3

$$\begin{aligned} 0 \leq t \leq 1 : S_{3,0}(t) &= a(t) = 1/2 \cdot t^2, \\ 1 \leq t \leq 2 : S_{3,0}(t) &= b(t) = 3/4 - (t - 3/2)^2, \\ 2 \leq t \leq 3 : S_{3,0}(t) &= c(t) = 1/2 \cdot (3 - t)^2 \end{aligned}$$



41

★

## B-SPLINE D'ORDRE 3: COMBINAISONS DES FONCTIONS DE PONDÉRATION 1/2

Construction d'une fonction de pondération à partir de splines

Les fonctions splines sont traduites puis combinées.

Exemple à partir de  $S_{3,0}(t)$

$$\begin{aligned} 0 \leq t \leq 1 : S_{3,0}(t), \\ 1 \leq t \leq 2 : S_{3,0}(t) \text{ et } S_{3,1}(t) &= S_{3,0}(t - 1), \\ 2 \leq t \leq 3 : S_{3,0}(t), S_{3,1}(t) &= S_{3,0}(t - 1) \text{ et } S_{3,2}(t) = S_{3,0}(t - 2), \\ 3 \leq t \leq 4 : S_{3,1}(t) &= S_{3,0}(t - 1), S_{3,2}(t) = S_{3,0}(t - 2) \text{ et } S_{3,3}(t) = S_{3,0}(t - 3) \dots \end{aligned}$$

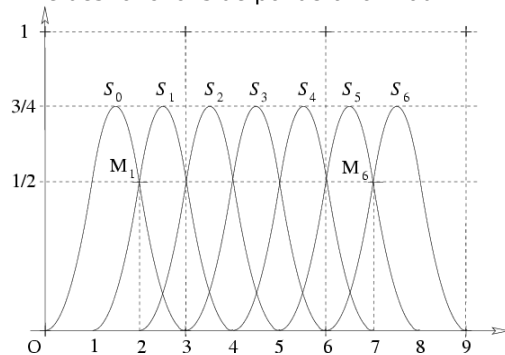
42

★

## B-SPLINE D'ORDRE 3: COMBINAISONS DES FONCTIONS DE PONDÉRATION 2/2

Propriété

Pour  $t \geq 2$ , la somme des fonctions de pondération vaut 1.



43

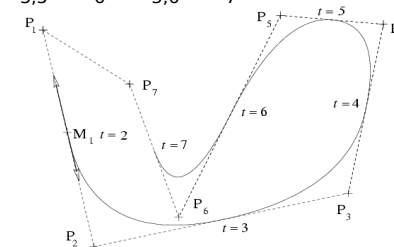
★

## B-SPLINE D'ORDRE 3: TRACÉ D'UNE COURBE OUVERTE 1/2

Combinaison de pondérations par des fonctions splines

Chaque fonction de pondération  $S_{3,k}$  est nulle hors de  $[k, k + 3]$ .

$$\begin{aligned} 2 \leq t \leq 7 : \\ P(t) &= S_{3,0}(t) P_1 + S_{3,1}(t) P_2 + S_{3,2}(t) P_3 + S_{3,3}(t) P_4 + \\ &S_{3,4}(t) P_5 + S_{3,5}(t) P_6 + S_{3,6}(t) P_7 \end{aligned}$$



44



## B-SPLINE D'ORDRE 3: COURBE OUVERTE 2/2

*Valeurs des poids de combinaison des points de contrôle*

t	P <sub>1</sub>	P <sub>2</sub>	P <sub>3</sub>	P <sub>4</sub>	P <sub>5</sub>	P <sub>6</sub>	P <sub>7</sub>
2.0:	0.500	0.500	-	-	-	-	-
2.1:	0.405	0.590	0.005	-	-	-	-
2.2:	0.320	0.660	0.020	-	-	-	-
2.3:	0.245	0.710	0.045	-	-	-	-
2.4:	0.180	0.740	0.080	-	-	-	-
2.5:	0.125	0.750	0.125	-	-	-	-
2.6:	0.080	0.740	0.180	-	-	-	-
2.7:	0.045	0.710	0.245	-	-	-	-
2.8:	0.020	0.660	0.320	-	-	-	-
2.9:	0.005	0.590	0.405	-	-	-	-
3.0:	-	0.500	0.500	-	-	-	-
3.1:	-	0.405	0.590	0.005	-	-	-
3.2:	-	0.320	0.660	0.020	-	-	-

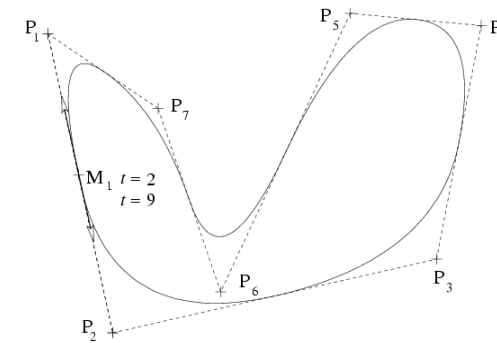
45



## B-SPLINE D'ORDRE 3: TRACÉ D'UNE COURBE FERMÉE

*Ensemble de points cycliques*

On ajoute  $P_8 = P_1$  et  $P_9 = P_2$  à une courbe ouverte pour rendre cyclique l'ensemble des points.



46



## B-SPLINE D'ORDRE 3: PROPRIÉTÉS

*Propriétés*

**Point médian**

La courbe passe par les points médians de  $[P_k, P_{k+1}]$

**Tangente au point médian**

Aux points médians, la tangente est la droite  $(P_k, P_{k+1})$ .

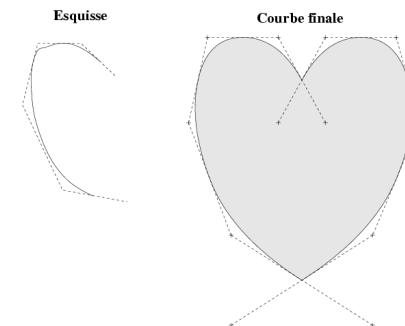
47



## B-SPLINE D'ORDRE 3: EXEMPLE DE TRAÇAGE D'UNE COURBE CONTRÔLÉE

*Méthode*

1. Esquisse et première approximation des points de contrôle
2. Définition des points de contrôle et tracé interactif de la courbe



48

★

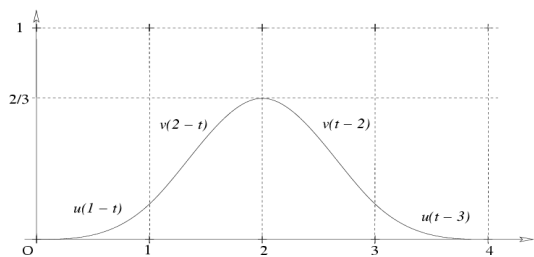
## B-SPLINE D'ORDRE 4: FONCTION DE PONDÉRATION

Fonction de pondération  $S_4$  des B-splines d'ordre 4

Soit les deux fonctions suivantes :

$$u(t) = 1/6 (1 - t)^3 \quad \text{et} \quad v(t) = 1/6 (3t^3 - 6t^2 + 4)$$

$$\begin{aligned} 0 \leq t \leq 1 : S_{4,0}(t) &= u(1 - t), \\ 1 \leq t \leq 2 : S_{4,0}(t) &= v(2 - t), \\ 2 \leq t \leq 3 : S_{4,0}(t) &= v(t - 2), \\ 3 \leq t \leq 4 : S_{4,0}(t) &= u(t - 3). \end{aligned}$$

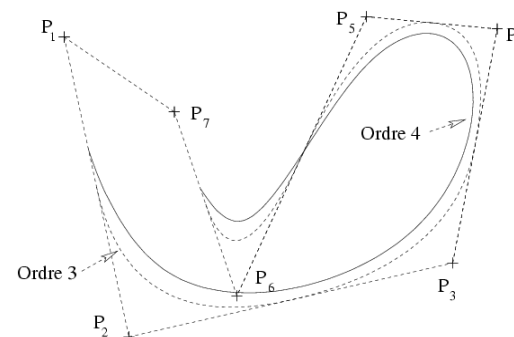


49

★

## B-SPLINE OUVERTE D'ORDRE 4

*Comparaison des B-splines d'ordre 3 et 4*



50

★

## B-SPLINE D'ORDRE 4: INTERPOLATION AUX EXTRÉMITÉS 1/5

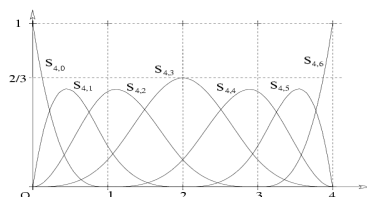
*Interpolation aux extrémités via des noeuds multiples*

Pour que la courbe d'ordre 4 passe par les points extrêmes, les noeuds initiaux et finaux sont d'ordre 4 :

$$T = (t_0 = 0, t_1 = 0, t_2 = 0, t_3 = 0, t_4 = 1, t_5 = 2, \dots, t_8 = 5, t_9 = 6, t_{10} = 6, t_{11} = 6, t_{12} = 6).$$

Il s'agit d'une **NUBS** (Non Uniform B-Spline). D'autres cas de variations sur la longueur des intervalles entre les points nodaux sont possibles.

*Courbes des fonctions de pondération associées*

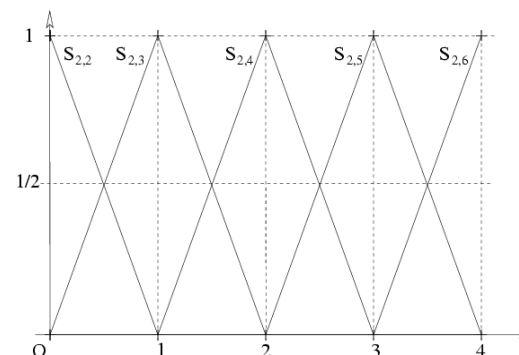


51

★

## B-SPLINE D'ORDRE 4: INTERPOLATION AUX EXTRÉMITÉS 2/5

*Fonctions de pondération d'ordre 2*

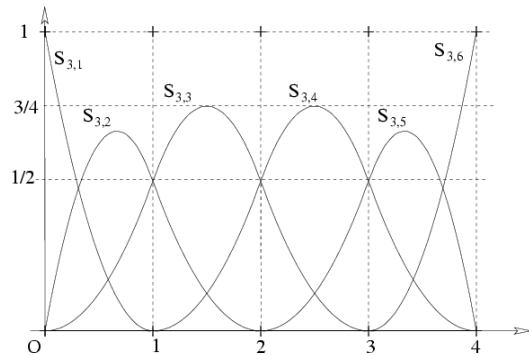


52

★

## B-SPLINE D'ORDRE 4: INTERPOLATION AUX EXTRÉMITÉS 3/5

*Fonctions de pondération d'ordre 3*

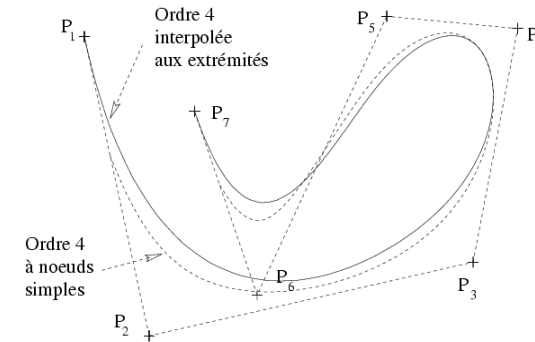


53

★

## B-SPLINE D'ORDRE 4: INTERPOLATION AUX EXTRÉMITÉS 4/5

*Tracé de la courbe avec des noeuds d'ordre 4 aux points  $P_1$  et  $P_2$*



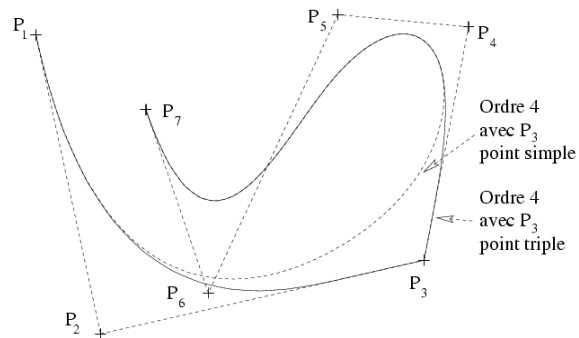
54

★

## B-SPLINE D'ORDRE 4: INTERPOLATION AUX EXTRÉMITÉS 5/5

*Attraction par la duplication de points*

En dupliquant un point de contrôle, on attire la B-spline vers ce point.



55

★

## B-SPLINES : PROPRIÉTÉS

*Propriétés géométriques des Courbes B-splines*

### **Interpolation aux points extrêmes**

Toute courbe B-spline commence par un point sur la première arête du polygone de contrôle et est tangente à celui-ci (idem pour le dernier point). Les points intermédiaires sont des points de contrôle externes à la courbe.

### **Invariance affine**

La transformée affine d'une courbe B-spline est la courbe passant par la transformée des points.

### **Enveloppe convexe**

Une courbe B-spline appartient à l'enveloppe convexe des points qui la contrôlent. Si elle est d'ordre  $n$ , elle appartient à l'enveloppe convexe de  $n-1$  points consécutifs.

56

## ★ NURBS : DÉFINITION

### Définition

Une courbe **NURBS** (Non Uniform Rational B-Splines) d'ordre  $m$  est définie par :

- un vecteur de noeuds  $T = (t_0, t_1, \dots)$ ,
- $n+1$  points de contrôle  $P_k$
- $n+1$  fonctions de pondération  $R_{m,k}$  déduites des fonctions de pondération des B-splines  $S_{m,k}$  au moyen de  $n+1$  **poids**  $w_k$  (généralement choisis positifs stricts) :

$$R_{m,k}(t) = \frac{w_k S_{m,k}(t)}{\sum_j w_j S_{m,j}(t)}$$

57

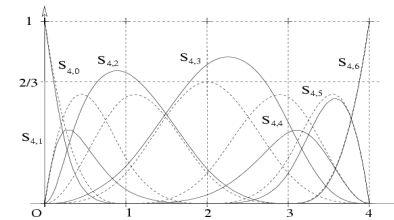
## ★ NURBS: FONCTIONS DE PONDÉRATION

### Courbes des fonctions de pondération associées

Comparaison entre les fonctions de pondération

- d'une **B-spline interpolée aux extrémités**,
- et d'une **NURBS** avec les pondérations suivantes :

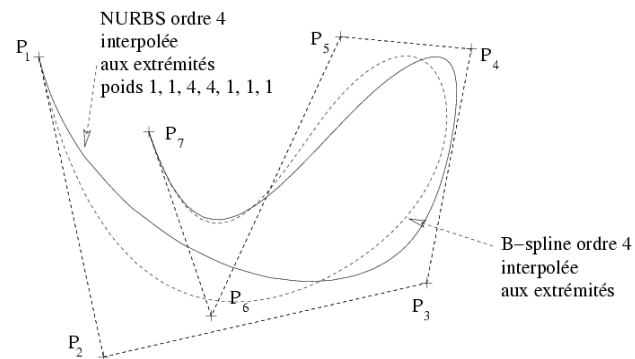
$$\begin{array}{llll} P_1 : 1 & P_3 : 4 & P_5 : 1 & P_7 : 1 \\ P_2 : 1 & P_4 : 4 & P_6 : 1 & \end{array}$$



58

## ★ NURBS: TRACÉ D'UNE COURBE

### Comparaison avec une B-spline



59

## ★ NURBS : PROPRIÉTÉS

### Propriétés géométriques des Courbes NURBS

#### Représentation des coniques

En choisissant correctement les points de contrôle et les poids, toute conique peut être représentée **exactement** par une NURBS.

#### Invariance affine

La **transformée affine d'une courbe NURBS est la courbe passant par la transformée des points.**

#### Invariance projective

Contrairement aux courbes B-spline, **l'image d'une courbe NURBS par une projection est la courbe NURBS passant par la projection des points.** Les poids doivent être recalculés en fonction de la matrice de projection.

En raison de ces propriétés, les NURBS sont fournies dans de nombreux logiciels d'infographie.

60

★

## SPLINE CUBIQUE INTERPOLÉE : DÉFINITION

### Définition

Une courbe **spline d'ordre 4 interpolée** est définie par :

- $n+1$  points de contrôle  $P_k$
- $n+1$  fonctions de pondération cubiques  $Si_{4,k}$  telles que
  - . la courbe passe par les points de contrôle,
  - . la courbe est de classe  $C_1$  en ces points (elle est de classe  $C_2$  ailleurs).

61

★

## SPLINE CUBIQUE INTERPOLÉE : COEFFICIENTS

Interpolation d'Hermite : raisonne séparément sur  $x$  et  $y$  et  $t$  dans  $[0, 1]$ . On a 3 contraintes :

- . Le passage par les deux points de contrôle  $P_k(x_k, y_k)$  et  $P_{k+1}(x_{k+1}, y_{k+1})$  (deux équations).
- . L'égalité de valeur de la dérivée avant et après les points de contrôle :  
 $s_k = y'_k(0)$  en  $P_k$  et  $s_{k+1} = y'_k(1)$  en  $P_{k+1}$ .

On obtient :

$$\begin{aligned} a_k &= s_{k+1} + s_k - 2(y_{k+1} - y_k) & c_k &= s_k \\ b_k &= 3(y_{k+1} - y_k) - 2s_k - s_{k+1} & d_k &= y_k \end{aligned}$$



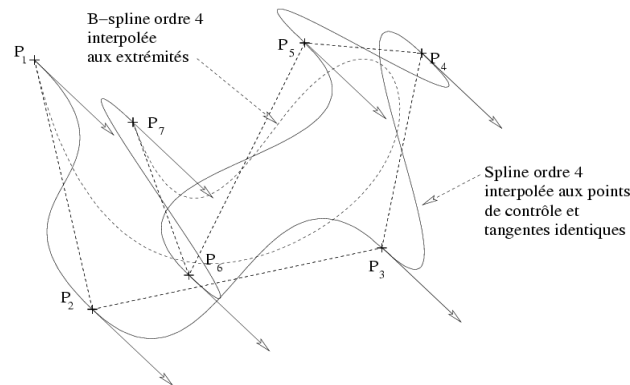
62

★

## SPLINE CUBIQUE INTERPOLÉE : COURBE 1/2

### Effet de la direction de la tangente sur la forme de la courbe

Tracé de la courbe avec des tangentes identiques à tous les points d'interpolation.



63

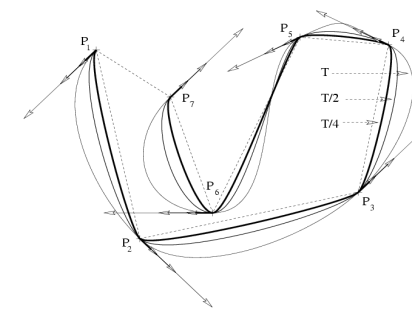
★

## SPLINE CUBIQUE INTERPOLÉE : COURBE 2/2

### Effet de la longueur de la tangente sur la forme de la courbe

Trois tracés pour des tangentes dans la même direction et dans un rapport de 2.0.

Si les **tangentes sont nulles**, la courbe se confond avec les arêtes du polygone de contrôle..



64



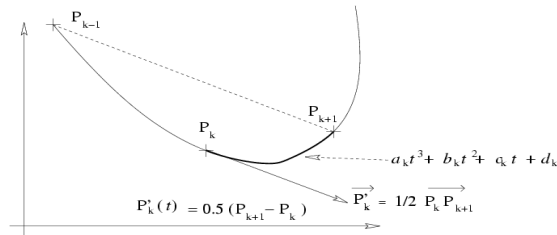
## SPLINE CUBIQUE INTERPOLÉE : CATMULL-ROM 1/4

### Définition

Les splines cubiques interpolées de Catmull-Rom sont celles pour lesquelles la **tangente  $P'_k(t)$  au point de contrôle  $P_k$  est parallèle au segment  $[P_{k-1}, P_{k+1}]$** .

$$P'_k(t) = m (P_{k+1} - P_{k-1})$$

On choisit fréquemment  $m = 0.5$ .



65

## SPLINE CUBIQUE INTERPOLÉE : CATMULL-ROM 2/4

### Calcul des coefficients

Aux contraintes initiales, on ajoute :

$$s_k = m (y_{k+1} - y_{k-1})$$

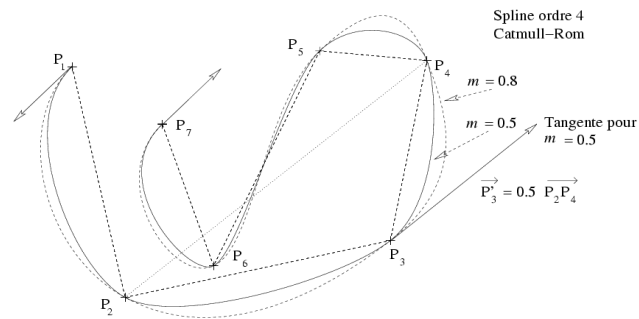
Une fois choisies  $s_0$  et  $s_n$ , les autres valeurs de  $s_k$  se déduisent de la relation précédente.

66

## SPLINE CUBIQUE INTERPOLÉE : CATMULL-ROM 3/4

### Effet du coefficient de proportionalité $m$ sur la forme de la courbe

La valeur du coefficient de proportionalité se répercute dans l'ensemble de la courbe car elle influence la valeur de la tangente en chacun des points de contrôle.

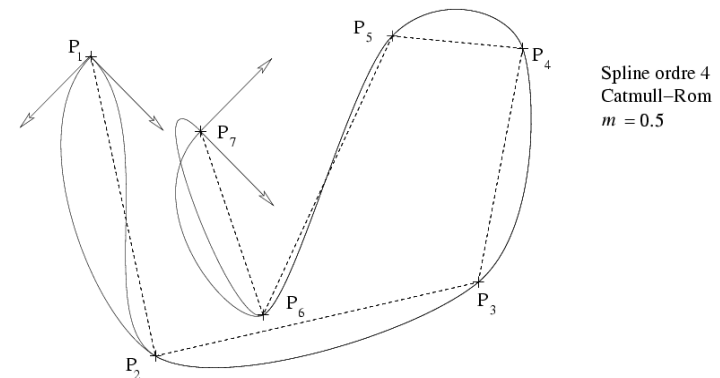


67

## SPLINE CUBIQUE INTERPOLÉE : CATMULL-ROM 4/4

### Effet de la direction des tangentes initiales et finales sur la forme de la courbe

L'effet est limité aux premier et dernier segments de la courbe.



68

## Surfaces

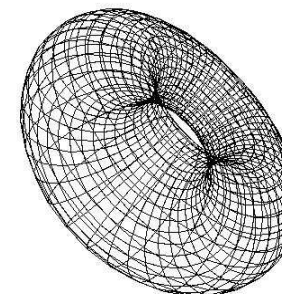
69

★★

### EXEMPLE DE MAILLAGE POLYGONAL

#### *Maillage polygonal d'un tore*

Ensemble de polygones définissant l'enveloppe de ce volume.



70

★★

### RENDU D'UN MAILLAGE POLYGONAL

#### *Rendu continu d'un maillage polygonal*

Il existe des techniques de **rendu** qui permettent de fournir une **image continue** d'un maillage polygonal (par exemple l'ombrage de Gouraud).



71

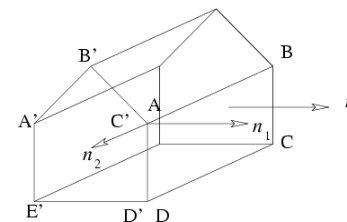
★★★

### DÉFINITION D'UN MAILLAGE POLYGONAL

#### *Éléments d'un maillage polygonal*

. **Un ensemble de polygones** décrits par leurs sommets dans le sens inverse des aiguilles d'une montre en regardant l'extérieur de l'objet,

. un ensemble de **vecteurs normaux** attachés aux **surfaces** ou aux **sommets**



72

★★★

## MAILLAGE : VECTEURS NORMAUX

Calcul naturel des vecteurs normaux au moyen du **produit vectoriel**.

$$n = (P_1 - P_2) \times (P_3 - P_2).$$

**Cas délicats :**

- le produit vectoriel peut être très petit si **les deux vecteurs sont presque colinéaires**,
- pas de moyennage dans le cas d'une **face polygonale non plane**,
- nécessité de moyenner les vecteurs normaux aux **sommets communs à plusieurs polygones**.

*Formule de Newell : normale à un polygone non plan*

Calcul sur tous les sommets du polygone (calcul cyclique) : chaque composante est égale à l'**aire signée projetée** sur le plan défini par les deux autres vecteurs du repère.

$$\begin{aligned} n_x &= (y_1 - y_2)(z_1 + z_2) + (y_2 - y_3)(z_2 + z_3) + \dots + (y_n - y_1)(z_n + z_1) \\ n_y &= (z_1 - z_2)(x_1 + x_2) + (z_2 - z_3)(x_2 + x_3) + \dots + (z_n - z_1)(x_n + x_1) \\ n_z &= (x_1 - x_2)(y_1 + y_2) + (x_2 - x_3)(y_2 + y_3) + \dots + (x_n - x_1)(y_n + y_1) \end{aligned}$$

73

★★

## POLYÈDRES: TÉTRAÈDRE 1/2

*Coordonnées*

Un tétraèdre peut être **inscrit dans le cube canonique**.

*Centre de gravité*

L'origine est le **centre de gravité** du tétraèdre.

*Vecteur normal aux polyèdres réguliers dont le centre de gravité est à l'origine*

Le **vecteur normal** est le vecteur joignant le **centre de gravité du tétraèdre** au centre de gravité de la face.

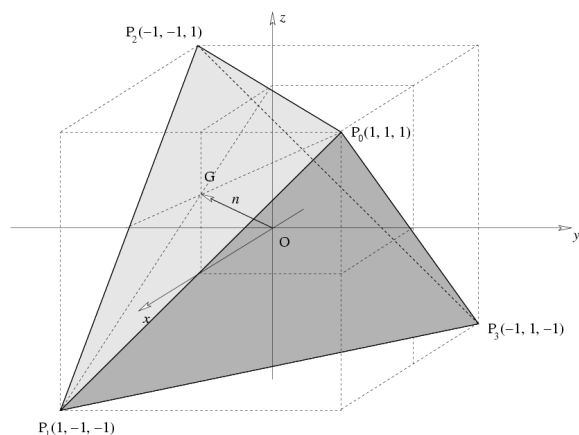
Dans le cas du tétraèdre, le vecteur normal à la face A B C est  $1/3(A + B + C)$ .

74

★★

## POLYÈDRES: TÉTRAÈDRE 2/2

*Figure*



75

★★

## POLYÈDRES: OCTAÈDRE 1/2

*Définition*

Le **polyèdre dual** P' d'un polyèdre P est celui obtenu en joignant les centres de gravité des faces de P.

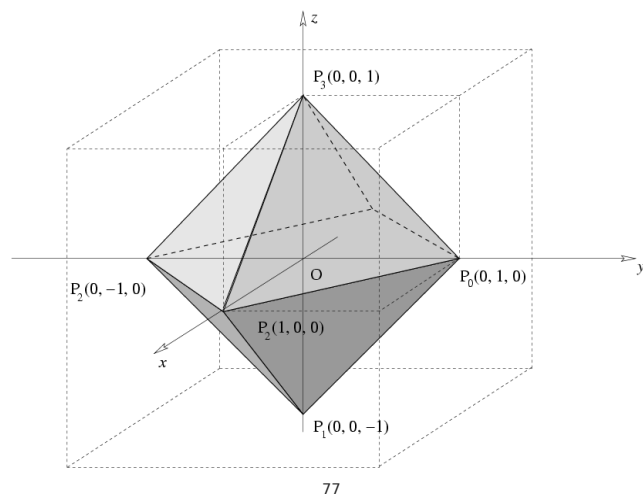
Le **dual d'un tétraèdre** est un **tétraèdre**.

*Propriété*

L'**octaèdre** est le **polygone dual** du **cube** (et réciproquement).

76

★★

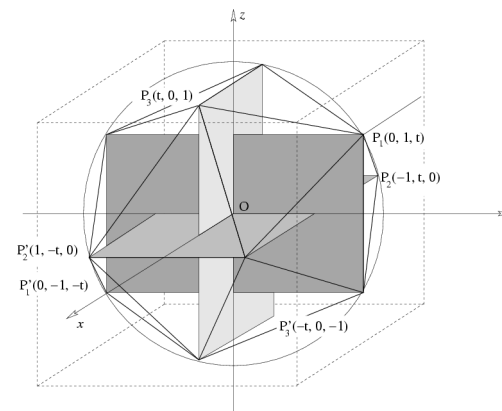
**POLYÈDRES: OCTAÈDRE 2/2***Figure*

77

★★

**POLYÈDRES: ISOCAÈDRE**

L'**isocaèdre** est obtenu en s'appuyant sur les sommets des trois **triangles d'or** dont les sommets diagonaux ont pour coordonnées :  $(0, 1, t):(0, -1, -t)$ ,  $(-1, t, 0):(1, -t, 0)$  et  $(t, 0, 1):(-t, 0, -1)$  avec  $(t = (\text{rac}(5) - 1)/2)$ .



78

★★

**POLYÈDRES: DODÉCAÈDRE 1/2***Définition*

L'**isocaèdre** est le polyèdre dual du **dodécaèdre**.

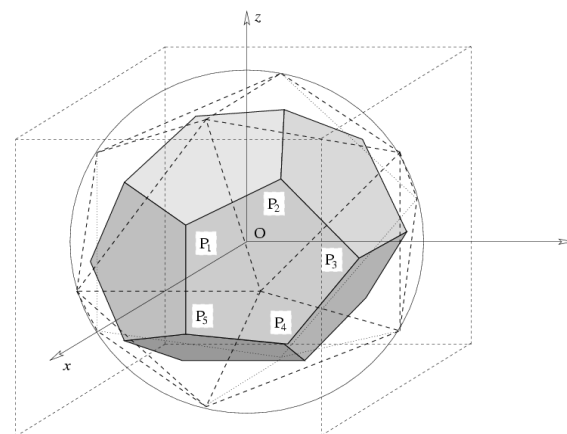
*Coordonnées*

Les coordonnées des sommets du dodécaèdre s'obtiennent donc en recherchant les isobarycentres des faces de l'isocaèdre.

Par exemple,  $P_1((2+t)/3, 0, 1/3)$ ,  $P_2((1+t)/3, (1+t)/3, (1+t)/3)$ ,  $P_3(1/3, (2+t)/3, 0)$ ,  $P_4((1+t)/3, (1+t)/3, -(1+t)/3)$  et  $P_5((2+t)/3, 0, -1/3)$ .

79

★★

**POLYÈDRES: DODÉCAÈDRE 2/2***Figure*

80

★★★

**POLYÈDRES: RELATION D'EULER 1/3****Propriété**

Pour tout polyèdre (non nécessairement régulier) :  
 $\text{Faces} - \text{Arêtes} + \text{Sommets} = 2$ .

**Exemples**

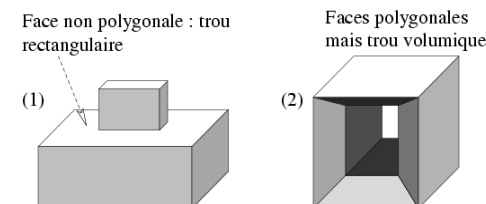
	<b>Tétraèdre</b>	<b>Octaèdre</b>	<b>Cube</b>	<b>Icosaèdre</b>	<b>Dodécaèdre</b>
<b>Sommets</b>	4	6	8	12	20
<b>Arêtes</b>	6	12	12	30	30
<b>Faces</b>	4	8	6	20	12

81

★★★

**POLYÈDRES: RELATION D'EULER 2/3****Problème des trous**

Pour que la formule d'Euler soit vérifiée, il ne doit pas y avoir de trous dans les faces ou dans le volume

**Cas où la formule n'est pas vérifiée**

82

★★★

**POLYÈDRES: RELATION D'EULER 3/3****Formule d'Euler généralisée**

Pour tout polyèdre (non nécessairement régulier) :  
 $\text{Faces} - \text{Arêtes} + \text{Sommets} - \text{Trous dans une face} = 2 (1 - \text{Trous volumiques})$ .

**Cas du solide (1) précédent**

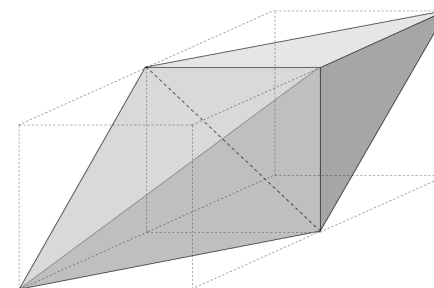
$$11 - 24 + 16 - 1 = 2 (1 - 0)$$

83

★

**POLYÈDRES: POLYÈDRES COMPOSÉS****Principe**

Un **polyèdre régulier composé** s'obtient en assemblant des polyèdres réguliers ayant des faces communes :  
 On utilise l'opération d'**union** de la géométrie constructive des solides.

**Exemple : le double tétraèdre**

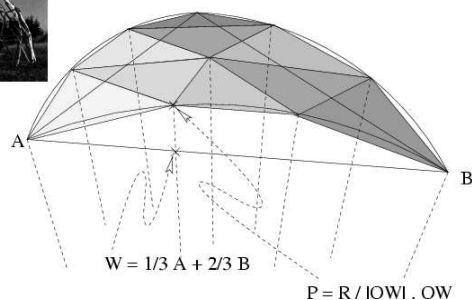
84

★★

## POLYÈDRES: DOME GÉODÉSIQUE

### Méthode

Un **dome géodésique** s'obtient par **subdivisions successives** des faces d'un polyèdre régulier (par exemple un isocaèdre).



85

★★★

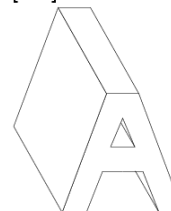
## VOLUMES PAR DÉPLACEMENT DE COURBES: EXTRUSION

### Construction de prismes par balayage

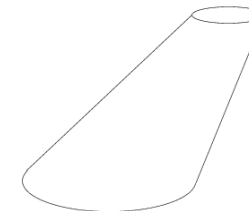
Un **prisme** s'obtient par **extrusion** d'une forme plane : translation d'un **vecteur variable**  $k \cdot \vec{v}$  avec  $k$  dans  $[0..1]$ .

### Exemples

Prisme par extrusion  
(translation de vecteur  $k \cdot \vec{v}$ )  
 $k \in [0..1]$



Prisme par translation de vecteur  $k \cdot \vec{v}$   
et changement d'échelle de rapport  $a$   $k$   
 $a$  est une constante



86

★★★

## VOLUMES PAR DÉPLACEMENT DE COURBES: VOLUMES DE RÉVOLUTION

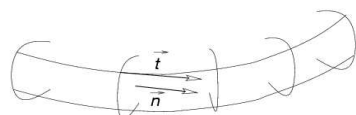
### Principe

Un **volume de révolution** s'obtient par rotation d'une forme plane autour d'un axe.

Volume par rotation autour d'un axe



Généralisation : volume par déplacement  
le long d'une courbe



La normale  $\vec{n}$  au plan de la figure déplacée  
est colinéaire à la tangente  $\vec{t}$  à la trajectoire

Exemples de trajectoires : ellipse, rectangle,  
rectangle à bords arrondis, sinusoïde...

87

★★★

## ÉQUATIONS IMPLICITES : DÉFINITION

### Définition

$$f(x, y, z) = 0$$

### Propriété

Le signe de  $f(x, y, z)$  donne la **position d'un point par rapport à la surface** (intérieur ou extérieur).

### Vecteur normal

Le **vecteur normal** en  $(x_0, y_0, z_0)$  est le **gradient** de  $f$  en ce point :  
 $(df/dx, df/dy, df/dz)|_{x_0, y_0, z_0}$

88

★★★

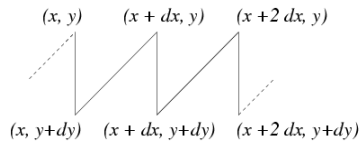
## ÉQUATIONS IMPLICITES : EXEMPLE 1/2

### Cas particulier $z = f(x,y)$

- Dans le cas où  **$z$  s'exprime en fonction de  $x$  et  $y$** , une équation implicite peut se mettre sous la forme:

$$z = f(x,y).$$

- La **position d'un point** est donnée par  $M = O + x i + y j + f(x,y) k$ .
- Tout **maillage du plan** permet d'obtenir un maillage de la courbe par projection selon  $k$ .  
Par exemple, un maillage par des triangle strips:  $(x,y)$ ,  $(x,y+dy)$ ,  $(x+dx,y)$ ,  $(x+dx,y+dy)$ ,  $(x+2dx,y)$ ,  $(x+2dx,y+dy)$ , ...



89

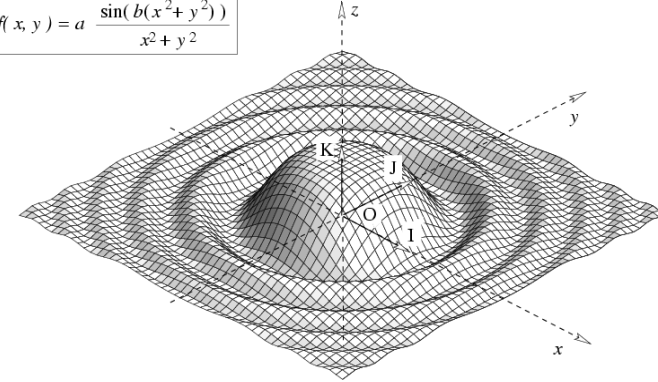
★★★

## ÉQUATIONS IMPLICITES : EXEMPLE 2/2

### Figure (en perspective oblique)

Exemple :

$$z = f(x, y) = a \frac{\sin(b(x^2 + y^2))}{x^2 + y^2}$$



90

★★★

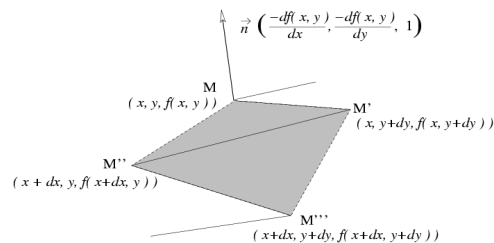
## ÉQUATIONS IMPLICITES : CONSTRUCTION

### Modes de construction du maillage

Dans le cas particulier  $z = f(x,y)$ , on peut construire le maillage en s'appuyant sur un **maillage triangulaire du plan xOy**. Pour chaque position  $(x_0, y_0)$ , on trouve la valeur de  $z$  telle que:

$$z_0 = f(x_0, y_0)$$

La normale se calcule à partir des dérivées partielles.



91

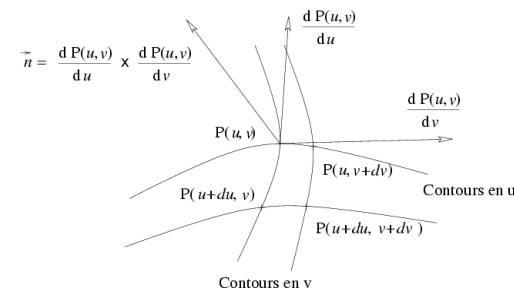
★★★

## ÉQUATIONS PARAMÉTRIQUES

$$P(u, v) = (X(u, v), Y(u, v), Z(u, v))$$

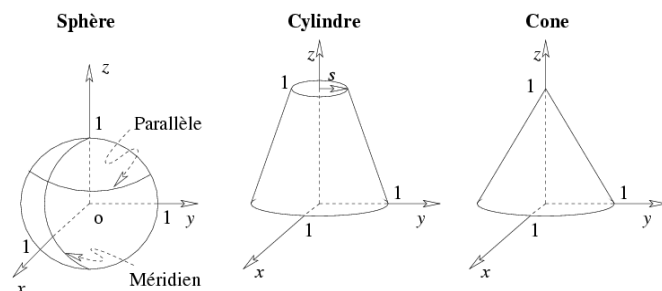
Contours: Les **contours en  $u$  ou en  $v$**  sont les courbes obtenues en fixant  $u$  ou  $v$  et en faisant varier l'autre variable.

Vecteur normal: Le vecteur normal en  $(x_0, y_0, z_0)$  est le **produit vectoriel des tangentes** aux contours en  $u$  et  $v$  en ce point.



92

★★★

ÉQUATIONS CLASSIQUES 1/3*Trois primitives géométriques*

93

★★★

ÉQUATIONS CLASSIQUES 2/3*Sphère*

$$x^2 + y^2 + z^2 - 1 = 0$$

$$P(u, v) = (\cos u \cos v, \sin u \cos v, \sin v)$$

Normale : OP

Cas d'une sphère de rayon R :

$$x^2 + y^2 + z^2 - R^2 = 0$$

$$P(u, v) = (R \cos u \cos v, R \sin u \cos v, R \sin v)$$

*Cylindre*

$$x^2 + y^2 - (1 + (s-1)z)^2 = 0 \quad ; \quad 0 \leq z \leq 1$$

$$P(u, v) = ((1 + (s-1)v) \cos u, (1 + (s-1)v) \sin u, v) \quad ; \quad 0 \leq v \leq 1$$

Normale :  $(\cos u, \sin u, 1-s)$ 

Cas d'un cylindre de rayon R constant et de hauteur H :

$$x^2 + y^2 - R^2 = 0 \quad ; \quad 0 \leq z \leq H$$

$$P(u, v) = (R \cos u, R \sin u, v) \quad ; \quad 0 \leq v \leq H$$

94

★★★

ÉQUATIONS CLASSIQUES 3/3*Cône*

$$x^2 + y^2 - (1-z)^2 = 0 \quad ; \quad 0 \leq z \leq 1$$

$$P(u, v) = ((1-v) \cos u, (1-v) \sin u, v) \quad ; \quad 0 \leq v \leq 1$$

Normale :  $(\cos u, \sin u, 1)$ 

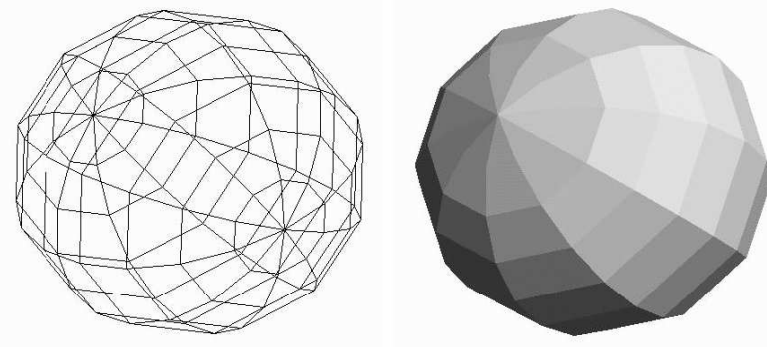
Cas d'un cône de rayon R et de hauteur H :

$$x^2 + y^2 - (R/H(H-z))^2 = 0 \quad ; \quad 0 \leq z \leq H$$

$$P(u, v) = ((R-v) \cos u, (R-v) \sin u, (H/R)v) \quad ; \quad 0 \leq v \leq R$$

95

★★★

POLYGONISATION : EXEMPLE*Polugonisation d'une sphère*

96



\*\*\*

## POLYGONISATION : DÉFINITION

### *Principe de la polygonisation ou tessellation*

La polygonisation revient à remplacer une surface par un **ensemble de triangles et de polygones**.

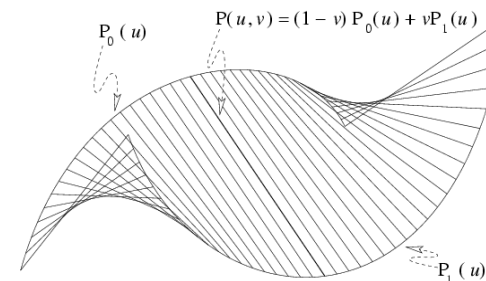
On définit la valeur de **l'échantillonnage**  
(pour la sphère précédente, il est de 10 en horizontal et en vertical).

97

\*\*\*

## SURFACE RÉGLÉE : EXEMPLE

### *Surface réglée s'appuyant sur deux courbes paramétriques*



98

\*\*\*

## SURFACE RÉGLÉE : DÉFINITION

### *Définition*

Une surface est **réglée** si et seulement si par tout point il passe au moins une droite entièrement contenue dans la surface.

**Exemple:** surface réglée définie par deux courbes  $P_1(u)$  et  $P_2(v)$  sur lesquelles s'appuient les droites de la surface.

### *Exemple*

Le **cone** est une surface réglée dont toutes les droites (appelées **directrices**) sont concourantes au sommet.  
Les directrices s'appuient sur le sommet et sur un cercle non coplanaire avec le sommet.

Le **cylindre** est une surface réglée dont toutes les droites sont parallèles à l'axe.

### *Patch*

Un **patch réglé** est un morceau de surface réglée obtenu en limitant les valeurs de  $u$  et  $v$  à des intervalles finis.

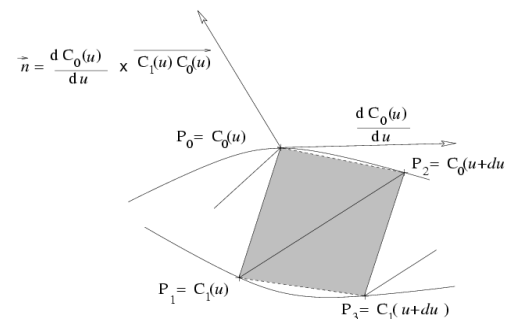
99

\*\*\*

## SURFACE RÉGLÉE : POLYGONALISATION 1/2

### *Polygonisation d'une surface réglée s'appuyant sur deux courbes paramétriques*

**Triangle strip** s'appuyant sur les deux courbes:  $P_1(u)$  et  $P_2(v)$ , avec  $u$  et  $v$  variant dans  $[a, b]$ .



100

★★★

## SURFACE RÉGLÉE : POLYGONALISATION 2/2

### Algorithme de polygonisation

**Polygonisation d'une surface réglée s'appuyant sur deux courbes paramétriques en  $n$  pas** avec un paramètre  $u$  défini sur  $[a,b]$ .

```
// initialisation
u = a
pas = (b - a) / n

// boucle de traçage
Pour i = 0 ; i <= n ; i++
    Po = Co( u );
    To = C'o( u );
    P1 = C1( u );
    T1 = C'1( u );

    Normale( To , Po - P1 );
    Sommet( Po );
    Normale( T1 , Po - P1 );
    Sommet( P1 );

    u += pas;
Fin pour
```

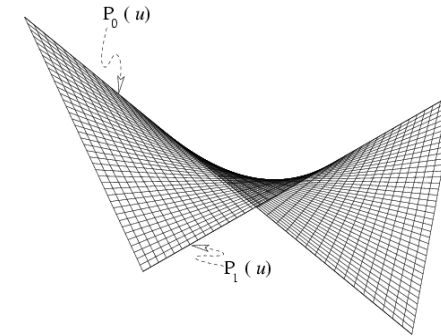
101

★★

## SURFACE RÉGLÉE : PATCH BILINÉAIRE

### Définition

Un **patch bilinéaire** est un morceau de surface réglée telle que  $P_1(u)$  et  $P_2(u)$  sont des segments de droites.



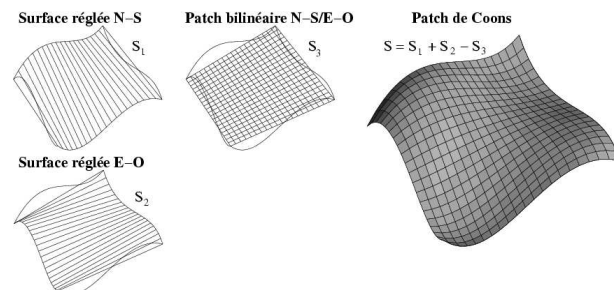
102

★★

## SURFACE RÉGLÉE : PATCH DE COONS (EXEMPLE)

### Principe

Un **patch de Coons** est une surface composée de polygones (non nécessairement plans) obtenus en **ajoutant les surfaces réglées qui s'appuient sur les courbes frontières** et en **retranchant le patch bilinéaire s'appuyant sur les points extrêmes**.



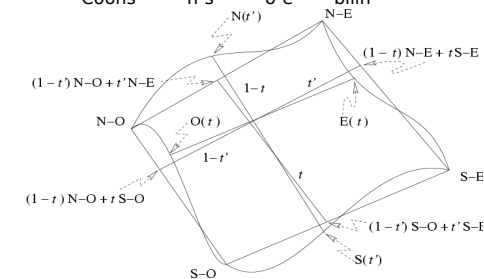
103

★★

## SURFACE RÉGLÉE : PATCH DE COONS (DÉFINITION)

### Construction d'un patch de Coons à partir de ses frontières

- **Surface réglée N-S** :  $M_{n-s} = (1 - t) N(t') + t S(t')$
- **Surface réglée O-E** :  $M_{o-e} = (1 - t') O(t) + t' E(t)$
- **Patch bilinéaire** :  $M_{bilin} = (1 - t) ((1 - t') N-O + t' N-E) + t ((1 - t') S-O + t' S-E)$
- => **Patch Coons** :  $M_{Coons} = M_{n-s} + M_{o-e} - M_{bilin}$



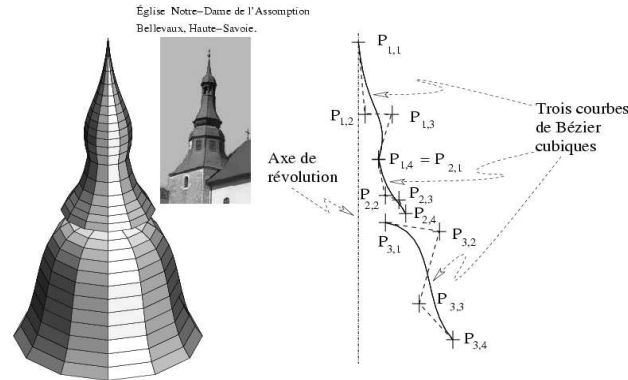
104

★★★

## SURFACE DE RÉVOLUTION: EXEMPLE

### Principe

Une **surface de révolution** est une surface obtenue par rotation d'une courbe plane autour d'un axe.

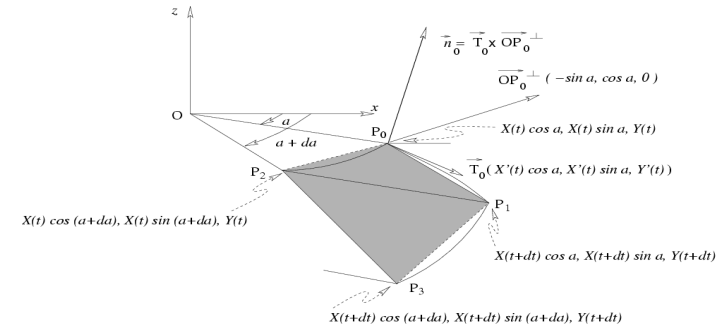


105

★★★

## SURFACE DE RÉVOLUTION: POLYAGONALISATION 1/2

Polygonisation d'une surface de révolution dont la génératrice est une courbe paramétrique: **Triangle strips** dont les sommets sont obtenus en faisant varier **t**, **le paramètre de la courbe, de dt** et **a**, **l'angle du plan de la courbe avec xOz de da**.



106

★★★

## SURFACE DE RÉVOLUTION: POLYAGONALISATION 2/2

### Algorithme de polygonisation d'une surface de révolution de génératrice paramétrique

Polygonisation d'une surface révolution d'axe Oz de génératrice paramétrique **m.n pas**: paramètre  $u$  sur  $[a,b]$  et paramètre  $\alpha$  sur  $[0,2.Pi]$ .

```
// initialisation
pasU = (b - a) / m      et      pasAlpha = 2.Pi / n
// boucle de traçage
u = a
Pour i = 0 ; i < m ; i++
    alpha = 0
    Début( triangle_strip );
    Pour j = 0 ; j <= n ; j++
        Po = M( u , alpha );
        To = M'( u , alpha );
        P1 = M( u + pasU , alpha );
        T1 = M'( u + pasU , alpha );
        Normale( T0 , alpha );      Sommet( Po );
        Normale( T1 , alpha );      Sommet( P1 );
        alpha += pasAlpha
    Fin pour
    Fin( triangle_strip );
    u += pasU;
Fin pour
```

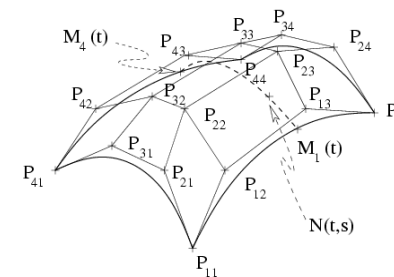
107

★★★

## SURFACE DE BÉZIER : DÉFINITION RÉCURSIVE 1/2

### Surface bicubique: sur 16 points

Une **surface bicubique de Bézier** est définie par 16 points de contrôle  $P_{i,j}$  ( $i,j$  dans  $\{1...4\} \times \{1...4\}$ ) en calculant :  
 - quatre points  $M_k(t)$  ( $k$  dans  $\{1...4\}$ ) sur les courbes de Bézier cubiques définies par  $P_{k,j}$  ( $j$  dans  $\{1...4\}$ ),  
 - et le point  $N(t,s)$  sur la courbe de Bézier définie par les quatre points  $M_k(t)$  précédents.



108



## SURFACE DE BÉZIER : DÉFINITION RÉCURSIVE 2/2

### *Définition récursive de de Casteljau*

Pour un **patch de degré  $n$** , on utilise  $(n+1)^2$  points de contrôle  $M_{i,j}^0$ .

On construit récursivement les points du patch par **interpolation bilinéaire** sur les paramètres  $u$  et  $v$ .

Le point sur la surface est  $M_{0,0}^n$ .

$$M_{i,j}^k(u, v) = (1-u) (1-v) M_{i,j}^{k-1}(u, v) + u (1-v) M_{i,j+1}^{k-1}(u, v) \\ + (1-u) v M_{i+1,j}^{k-1}(u, v) + u v M_{i+1,j+1}^{k-1}(u, v) \\ \left\{ \begin{array}{l} k = 1 \dots n \\ i = 0, 1 \dots n-k \text{ et } j = 0, 1 \dots n-k \end{array} \right.$$

109



## SURFACE DE BÉZIER : CALCUL MATRICIEL 1/3

### *Calcul par produit matriciel*

Courbe de Bézier

$$M_1(t) = \begin{bmatrix} B_0^3(t) & B_1^3(t) & B_2^3(t) & B_3^3(t) \end{bmatrix} \begin{bmatrix} P_{11} \\ P_{12} \\ P_{13} \\ P_{14} \end{bmatrix}$$

Surface de Bézier

$$N(t,s) = B_0(s) M_1(t) + B_1(s) M_2(t) + B_2(s) M_3(t) + B_3(s) M_4(t)$$

$$N(t,s) = \begin{bmatrix} B_0^3(t) \\ B_1^3(t) \\ B_2^3(t) \\ B_3^3(t) \end{bmatrix} \begin{bmatrix} P_{11} & P_{21} & P_{31} & P_{41} \\ P_{12} & P_{22} & P_{32} & P_{42} \\ P_{13} & P_{23} & P_{33} & P_{43} \\ P_{14} & P_{24} & P_{34} & P_{44} \end{bmatrix} \begin{bmatrix} B_0^3(s) \\ B_1^3(s) \\ B_2^3(s) \\ B_3^3(s) \end{bmatrix}$$

110



## SURFACE DE BÉZIER : CALCUL MATRICIEL 2/3

### *Calcul par produit matriciel (suite et fin)*

$$N(t,s) = \begin{bmatrix} t^3 & t^2 & t^1 & t^0 \end{bmatrix} \begin{bmatrix} -1 & 3 & -3 & 1 \\ 3 & -6 & 3 & 0 \\ -3 & 3 & 0 & 0 \\ 1 & 0 & 0 & 0 \end{bmatrix} \begin{bmatrix} P_{11} & P_{21} & P_{31} & P_{41} \\ P_{12} & P_{22} & P_{32} & P_{42} \\ P_{13} & P_{23} & P_{33} & P_{43} \\ P_{14} & P_{24} & P_{34} & P_{44} \end{bmatrix} \\ \times \begin{bmatrix} -1 & 3 & -3 & 1 \\ 3 & -6 & 3 & 0 \\ -3 & 3 & 0 & 0 \\ 1 & 0 & 0 & 0 \end{bmatrix} \begin{bmatrix} s^3 \\ s^2 \\ s^1 \\ s^0 \end{bmatrix}$$

111



## SURFACE DE BÉZIER : CALCUL MATRICIEL 3/3

### *Interpolation par les polynomes de Bernstein*

On peut envisager d'avoir des **degrés  $m$  et  $n$  différents** pour les paramètres  $u$  et  $v$ .

$$M(u, v) = \sum_{i=0}^m B_i^m(u) \sum_{j=0}^n B_j^n(v) M_{i,j} \\ = \sum_{i=0}^m \sum_{j=0}^n \binom{m}{i} \binom{n}{j} u^i (1-u)^{m-i} v^j (1-v)^{n-j} M_{i,j}$$

On peut envisager un patch comme un **ensemble de courbes de Bézier** (en  $u$ ) dont les points de contrôles  $P_i(v)$  parcourent des courbes de Bézier (en  $v$ ).

$$M(u, v) = \sum_{i=0}^m B_i^m(u) \sum_{j=0}^n B_j^n(v) M_{i,j} \\ = \sum_{i=0}^m B_i^m(u) P_i(v)$$

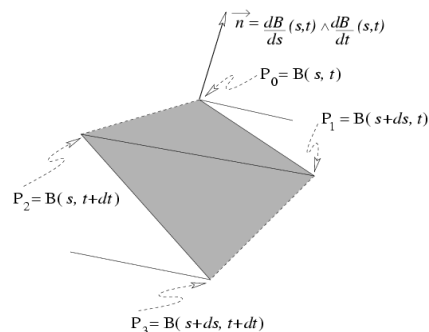
112



## SURFACE DE BÉZIER : POLYGONALISATION 1/3

### *Polygonalisation d'une surface de Bézier*

**Triangle strips** dont les sommets sont obtenus en faisant varier **s de ds** et **t de dt**.



113



## SURFACE DE BÉZIER : POLYGONALISATION 2/3

### *Algorithme de polygonisation d'une surface de Bézier*

Polygonisation en **m.n pas**:  
paramètre s sur [a,b] et paramètre t sur [c,d].

```
// initialisation
pasS = (b - a) / m;
pasT = (d - c) / n;

// boucle de traçage
s = a;
Pour i = 0 ; i < m ; i++
    t = c;
    Début( triangle_strip );
    Pour j = 0 ; j <= n ; j++
        P0 = B( s , t ); Ts,0 = B's( s , t ); Tt,0 = B't( s , t );
        P1 = B( s + pasS , t ); Ts,1 = B's( s + pasS , t ); Tt,1 = B't( s + pasS , t );
        Normale( Ts,0 , Tt,0 ); Sommet( P0 );
        Normale( Ts,1 , Tt,1 ); Sommet( P1 );
        t += pasT;
    Fin pour
    Fin( triangle_strip );
    s += pasS
Fin pour
```

114



## SURFACE DE BÉZIER : POLYGONALISATION 3/3

### *Surface de Bézier en OpenGL*

Les **courbes et surfaces de Bézier** se tracent aussi en **OpenGL** au moyen d'évaluateurs **glEvalCoord1()** pour les courbes et **glEvalCoord2()** pour les surfaces.

La définition de l'évaluateur est faite avec les fonctions **glMap1()** pour une courbe et **glMap2()** une surface.

All About NURBS (Perry Newhook)

115



## SURFACE DE BÉZIER : PROPRIÉTÉS 1/4

### *Propriétés aux bords*

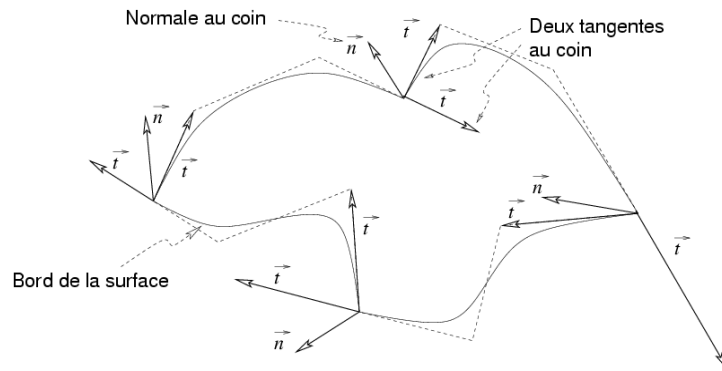
- Une surface de **Bézier** passe par les quatre points de contrôle aux coins.
- Les quatre **bords d'une surface de Bézier** sont des courbes de Bézier dont les points de contrôle sont  $M_{0,j}$ ,  $M_{m,j}$ ,  $M_{i,0}$  ou  $M_{i,n}$ .
- Les **normales aux coins** de la surface sont les produits vectoriels des tangentes aux courbes des bords.

116

★★

## SURFACE DE BÉZIER : PROPRIÉTÉS 2/4

### *Propriétés aux bords (figure)*



117

★★

## SURFACE DE BÉZIER : PROPRIÉTÉS 3/4

### *Propriétés affines*

- Une surface de Bézier est incluse dans l'**enveloppe convexe** de ses points de contrôle.

$$\sum_{i=0}^m \sum_{j=0}^n B_i^m(u) B_j^n(v) = 1$$

- L'**image d'une surface de Bézier par une transformation affine** est la surface générée par l'image de ses points de contrôle.

118

★★

## SURFACE DE BÉZIER : PROPRIÉTÉS 4/4

### *Dérivées, tangentes et normales à une surface de Bézier*

$$\frac{d}{du} M(u, v) = m \sum_{j=0}^n \sum_{i=0}^{m-1} B_i^{m-1}(u) B_j^n(v) (M_{i+1,j} - M_{i,j})$$

$$\frac{d}{dv} M(u, v) = n \sum_{i=0}^m \sum_{j=0}^{n-1} B_i^m(u) B_j^{n-1}(v) (M_{i,j+1} - M_{i,j})$$

La normale est le produit vectoriel des deux dérivées partielles en  $u$  et  $v$ .

119

★★★

## SURFACE DE BÉZIER : JONCTION 1/4

### *Continuité entre deux surfaces de Bézier*

#### **Continuité de position $C_0$ ou $G_0$**

Les frontières communes ont les **mêmes quatre points de contrôle** (ici  $A_4 = B_1$ ,  $A_8 = B_5$ ,  $A_{12} = B_9$  et  $A_{16} = B_{13}$ ),

#### **Continuité de classe $G_1$**

Les **points extrêmes sont confondus** et les **arêtes** initiales et finales du **polygone de contrôle au point de jonction sont colinéaires** (ici  $[A_3 A_4, B_1 B_2]$ ,  $[A_7 A_8, B_5 B_6]$ ,  $[A_{11} A_{12}, B_9 B_{11}]$  et  $[A_{15} A_{16}, B_{13} B_{14}]$ ).

120

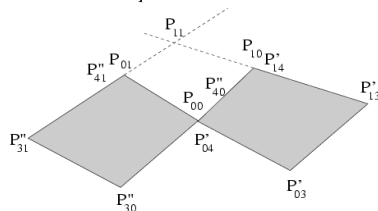


## SURFACE DE BÉZIER : JONCTION 2/4

### *Contraintes issues de la continuité de classe $G_1$*

La continuité de classe  $G_1$  est une **condition forte** sur une surface de Bézier : dans le cas général, il n'est pas possible de trouver les points intérieurs si les 4 surfaces voisines sont connues.

$P_{01}$  est égal à  $P_{41}''$ ,  $P_{10}$  est égal à  $P_{14}'$ , et  $P_{00}$  est égal à  $P_{40}''$  et  $P_{04}'$   
 $P_{11}$  est défini par l'intersection des droites  $P_{31}''P_{41}''$  et  $P_{13}'P_{14}'$   
 seulement si elles sont coplanaires.

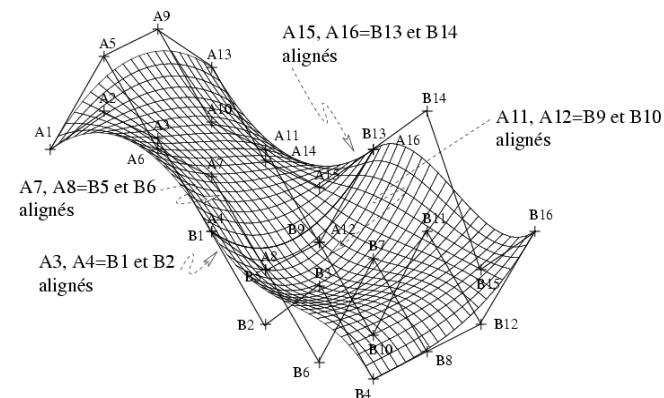


121



## SURFACE DE BÉZIER : JONCTION 3/4

### *Cas de deux surfaces*



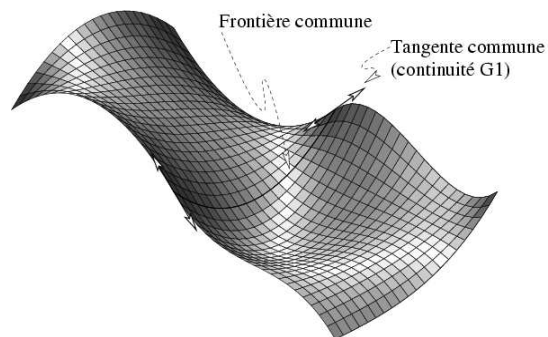
122



## SURFACE DE BÉZIER : JONCTION 4/4

### *En fonction des conditions précédentes...*

La surface obtenue est bien de classe  $G^1$ .



123



## SURFACE NURBS : DÉFINITION

### *Définition*

Les surfaces **NURBS** s'obtiennent par extension de la définition des courbes NURBS :

- deux vecteurs de noeuds  $T$  et  $S$ , un pour chacune des variables  $t$  et  $s$ ,
- $(m+1) \times (n+1)$  points de contrôle  $P_{i,k}$
- $(m+1) \times (n+1)$  fonctions de pondération  $R_{m,n,i,k}$  déduites des fonctions de pondération des B-splines  $S_{m,k}$  au moyen de  $(m+1) \times (n+1)$  **poids**  $w_{i,k}$  :

$$R_{m,n,i,k}(t) = \frac{w_{i,k} S_{m,i}(t) S_{n,k}(s)}{\sum_{j,l} w_{j,l} S_{m,j}(t) S_{n,l}(s)}$$

$$N(t, s) = \sum_{i,k} R_{m,n,i,k}(t) P_{i,k}$$

124

★

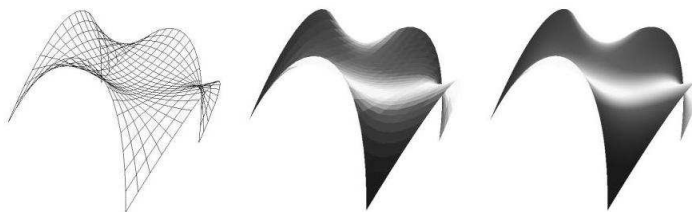
## SURFACE NURBS : EXEMPLE

### *Exemple*

Surface **NURBS** obtenue en OpenGL, rendus **fil**, **polygone** et **doux**.

Points de contrôle :

(-3.0, -3.0, 1.0), (-3.0, -1.0, -5.0), (-3.0, 1.0, -5.0), (-3.0, 3.0, 1.0), (-1.0, -3.0, -5.0),  
(-1.0, -1.0, 0.0), (-1.0, 1.0, 0.0), (-1.0, 3.0, -5.0), (1.0, -3.0, -5.0), (1.0, -1.0, 0.0), (1.0,  
1.0, 0.0), (1.0, 3.0, -5.0), (3.0, -3.0, 1.0), (3.0, -1.0, -5.0), (3.0, 1.0, -5.0), (3.0, 3.0, 1.0)



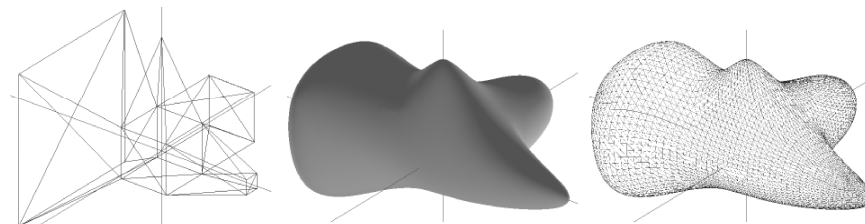
125

★★★

## SURFACE DE SUBDIVISION : DÉFINITION 1/2

### *Définition et exemple d'une surface de subdivision*

Une **surface de subdivision** est définie par un maillage de topologie arbitraire.

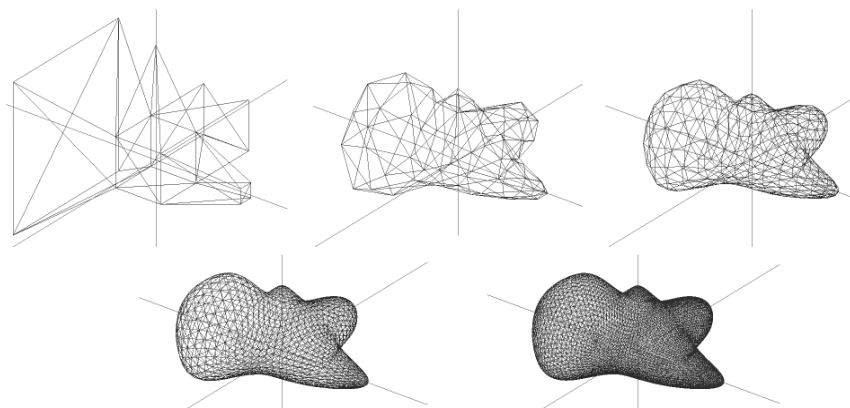


126

★★★

## SURFACE DE SUBDIVISION : DÉFINITION 2/3

### *Raffinement d'une surface de subdivision*



127

★★★

## SURFACE DE SUBDIVISION : DÉFINITION 3/3

### *Raffinement d'une surface de subdivision (suite et fin)*

Une **surface de subdivision** fournit un niveau de détail aussi fin que souhaité.

La limite est appelée *surface limite*.

Le coût du raffinement est exponentiel ( $4^n$ ).

128



\*\*\*

## SURFACE DE SUBDIVISION : ALGORITHME

### *Algorithme général de création d'une surface de subdivision*

Nous ne traitons que le cas de *maillages triangulaires* et de *subdivisions triangulaires*:

algorithme de **Loop** et algorithme **Modified Butterfly**, certains algorithmes travaillent sur des maillages polygonaux.

Définir le maillage de départ: `maillage0`.

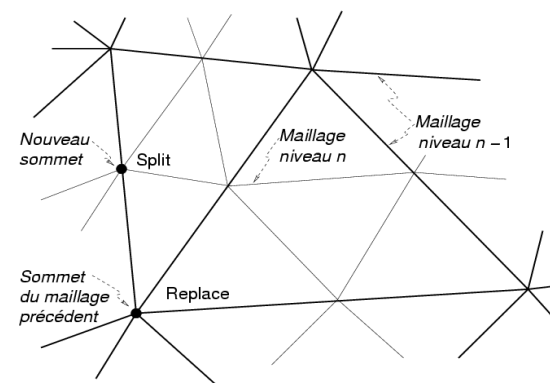
```
Pour niveau = 1 ; niveau <= niveauFinal ; niveau++
  maillageniveau = subdiviser( maillageniveau-1)
  lisser( maillageniveau )
fin pour
```

129

\*\*\*

## SURFACE DE SUBDIVISION : SUBDIVISION 1/2

### *Subdivision de maillages triangulaires*

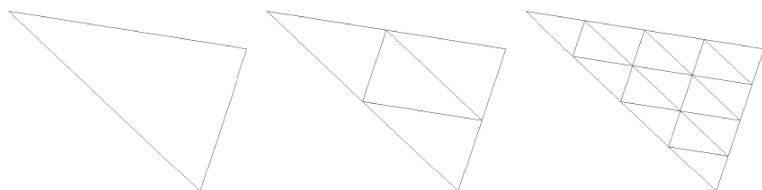


\*\*\*

130

## SURFACE DE SUBDIVISION : SUBDIVISION 2/2

### *Subdivision récursive: 3 étapes successives*



131

\*\*\*

## SURFACE DE SUBDIVISION : ALGORITHME DE LOOP

### 1/5

### *Principes de l'algorithme*

On utilise des **masques** qui définissent la position des sommets du niveau  $n$  en fonction des sommets du niveau  $n-1$ .

- un masque pour les sommets obtenus par découpage d'une arête en 2 (*split*),
- un masque pour les sommets repris du découpage précédent (*replace*).

132

★★★

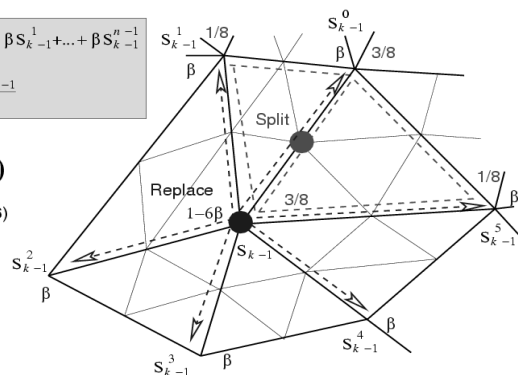
**SURFACE DE SUBDIVISION : ALGORITHME DE LOOP****2/5*****Les deux masques pour l'algorithme de Loop***

$$Replace_k = (1 - n \beta) S_{k-1} + \beta S_{k-1}^0 + \beta S_{k-1}^1 + \dots + \beta S_{k-1}^{n-1}$$

$$Split_k = \frac{3S_{k-1} + 3S_{k-1}^0 + S_{k-1}^1 + S_{k-1}^5}{8}$$

$$\beta = \frac{1}{n} \left( \frac{5}{8} - \frac{(3 + 2 \cos(2 \pi / n))^2}{64} \right)$$

$n$ : arité de  $S_{k-1}$  (généralement 6)



133

★★★

**SURFACE DE SUBDIVISION : ALGORITHME DE LOOP****3/5*****Méthode***

Pour chaque sommet  $S_{k-1}$  du maillage du niveau  $k-1$ ,

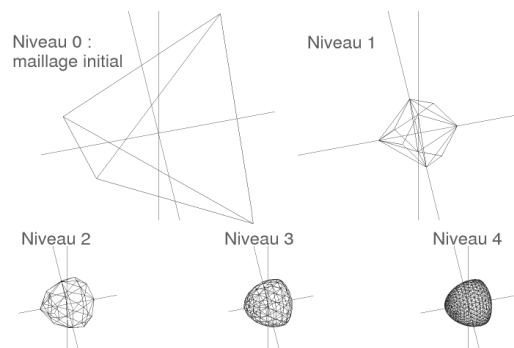
on recense les  $n$  sommets auxquels il est connecté:

$$S_{k-1}^0, S_{k-1}^1, \dots, S_{k-1}^{n-1},$$

On applique les masques pour calculer la position du sommet de remplacement et des découpages des arêtes issues de ce sommet.

134

★★★

**SURFACE DE SUBDIVISION : ALGO. DE LOOP 4/5*****Exemple: le cas du tétraèdre***

135

★★★

**SURFACE DE SUBDIVISION : ALGO. DE LOOP 5/5*****Caractéristiques***

Le schéma de subdivision de Loop est un **schéma d'approximation**; la surface ne passe pas par les sommets du polygone initial.

Il est **juste** (*fair*), il tend à produire des formes douces.

Il **converge rapidement**.

Il **rétrécit** les formes par rapport au polygone initial (voir tétraèdre).

136

★★★

## SURFACE DE SUBDIVISION : MODIFIED BUTTERFLY 1/8

### Principes de l'algorithme

On utilise des **masques** qui définissent la position d'un sommet découpé du niveau  $n$  en fonction des sommets du niveau  $n-1$ .

Un sommet est **régulier** s'il est d'arité 6.

On définit ainsi les masques:

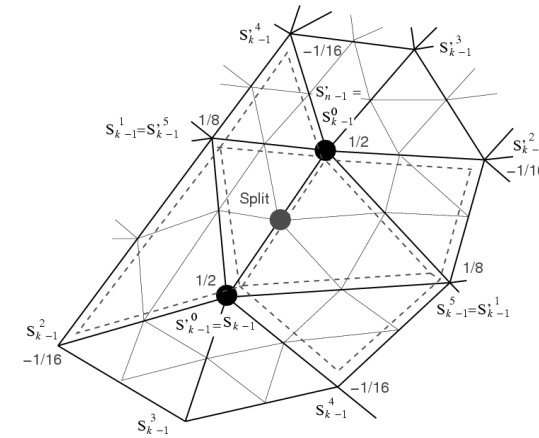
- un masque pour le découpage d'un segment défini par *deux sommets réguliers*,
- un masque pour le découpage d'un segment dont *une des extrémité est irrégulière*.

137

★★★

## SURFACE DE SUBDIVISION : MOD. BUTTERFLY 2/8

*Masque de MB dans le cas de deux sommets réguliers*



138

★★★

## SURFACE DE SUBDIVISION : MODIFIED BUTTERFLY 3/8

### Méthode générale

Pour chaque couple de sommets  $(S_{k-1}, S'_{k-1})$  du maillage de niveau  $k-1$ ,

on recense les  $n$  et  $n'$  sommets auxquels ils sont connectés:

$$S_{k-1}^0, S_{k-1}^1 \dots S_{k-1}^{n-1}, \text{ et } S'_{k-1}^0, S'_{k-1}^1 \dots S'_{k-1}^{n'-1},$$

### Cas de deux sommets réguliers

**Si les deux sommets sont réguliers** (arité 6),

on applique le masque précédent pour calculer la position du découpage de l'arête joignant ces sommets.

139

★★★

## SURFACE DE SUBDIVISION : MOD. BUTTERFLY 4/8

*Cas d'un sommet régulier et d'un sommet irrégulier*

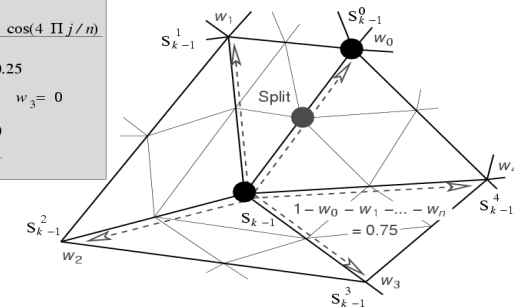
**Si le sommet  $S_{k-1}$  est irrégulier** (arité  $n \neq 6$ ),

on applique le masque ci-dessous, **centré sur le sommet irrégulier**.

Le sommet irrégulier central a une **pondération de 0.75**,

les pondérations  $w_j$  des autres sommets sont données par les formules ci-dessous.

$n$ : arité du sommet irrégulier	
$n > 4$	$\beta = 0.5$
$w_j = \frac{0.25 + \cos(2 \Pi j / n) + \beta \cos(4 \Pi j / n)}{n}$	
$n = 4$	même formule avec $\beta = 0.25$
$w_0 = \frac{3}{8}$	$w_1 = 0 \quad w_2 = \frac{-1}{8} \quad w_3 = 0$
$n = 3$	même formule avec $\beta = 0$
$w_0 = \frac{5}{12}$	$w_1 = \frac{-1}{12} \quad w_2 = \frac{-1}{12}$



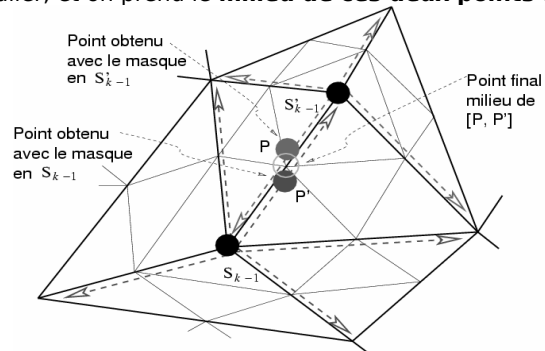
140

★★★

## SURFACE DE SUBDIVISION : MOD. BUTTERFLY 5/8

### *Cas de deux sommets irréguliers*

Si les sommets  $S_{k-1}$  et  $S'_{k-1}$  sont irréguliers (arité  $n \neq 6$  et  $n' \neq 6$ ), on effectue le calcul **pour chacun des deux sommets irréguliers** comme dans le cas semi-régulier, et on prend le **milieu de ces deux points** comme valeur.

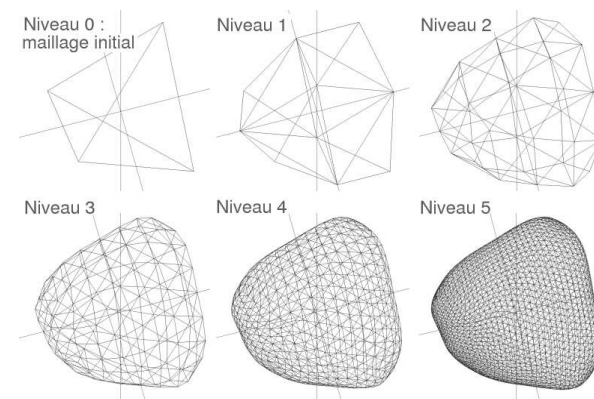


141

★★★

## SURFACE DE SUBDIVISION : MOD. BUTTERFLY 6/8

### *Exemple: le cas du tétraèdre*



142

★★★

## SURFACE DE SUBDIVISION : MODIFIED BUTTERFLY

### 7/8

### *Caractéristiques*

Le schéma de subdivision de *Modified Butterfly* est un **schéma d'interpolation**; la surface passe par les sommets du polygone initial.

Il est moins **juste** (*fair*) qu'un schéma par approximation, et peut produire des torsions non naturelles.

Il reste **proche** de la forme du polygone initial (voir tétraèdre).

143

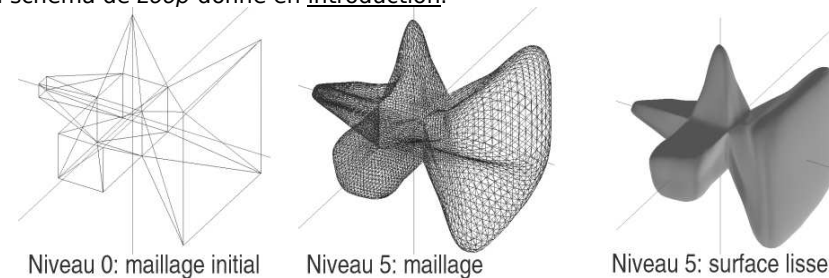
★★★

## SURFACE DE SUBDIVISION : MODIFIED BUTTERFLY

### 8/8

### *Cas de déformations non naturelles*

Comparer le rendu obtenu ici pour le schéma de *Modified Butterfly* avec le rendu du schéma de *Loop* donné en [introduction](#).



144

## Éclairément

145

★★★

### LES COMPOSANTES DU RENDU D'UN VOLUME ÉCLAIRÉ 1/3

#### *Les ingrédients du rendu réaliste de l'éclairément*

- 1.Des **sources lumineuses** induisant des éclairément différents selon l'orientation des faces par rapport à ces sources (figure 1).
- 2.Un **modèle d'ombrage** fournissant un rendu lisse (figure 2).
- 3.Des **composantes émises ou réfléchies** de la lumière pour donner à certains objets un aspect brillant ou réfléchissant (figure 3).
- 4.Un ajout de **texture** sur les objets pour leur donner une apparence telle que le bois ou la pierre (figure 4).

146

★★★

### LES COMPOSANTES DU RENDU D'UN VOLUME ÉCLAIRÉ 2/3

Fig. 1: Rendu plat, maillage visible

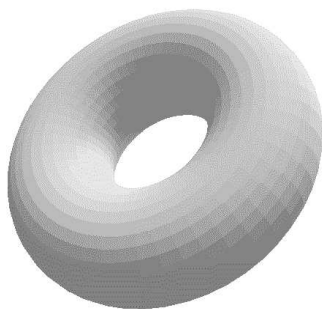
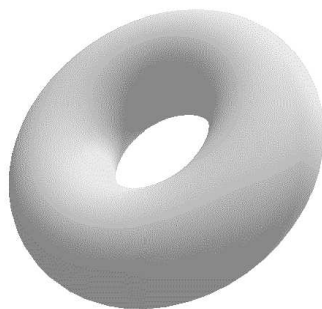


Fig. 2: Rendu doux, maillage lissé



147

★★★

### LES COMPOS. DU RENDU D'UN VOL. ÉCLAIRÉ 3/3

Fig. 3: Rendu doux avec composante spéculaire

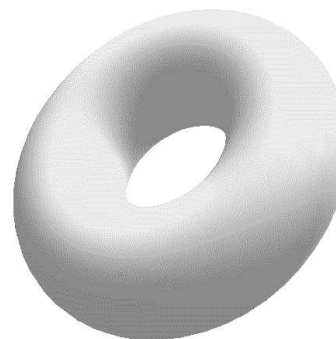
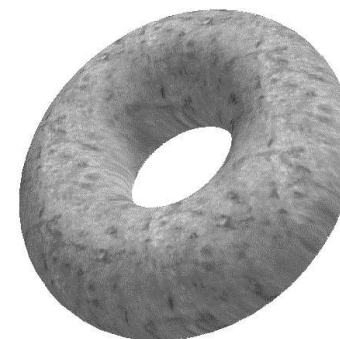


Fig. 4: Rendu doux avec texture



148

★★★

## MODÈLES D'OMBRAGE : INTRODUCTION

### *Les deux composantes de la lumière*

1. Une **lumière ambiante** non directionnelle.
2. Des **sources lumineuses** directionnelles, à distance finie (par exemple un spot) ou infinie (par exemple le soleil).

On ne prend pas en compte l'éclairage réciproque des objets.

### *Les trois modes d'interaction entre les objets et la lumière*

1. L'**absorption** de la lumière et sa conversion en chaleur (objet noir).
2. La **réflexion/diffusion** vers d'autres objets (objet brillant ou réfléchissant).
3. La **transmission** de la lumière à travers l'objet (objet transparent).

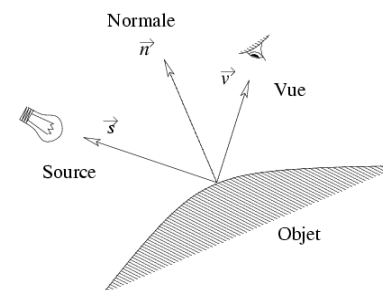
149

★★★

## MODÈLES D'OMBRAGE : INGRÉDIENTS

### *Les trois ingrédients géométriques pour le calcul de l'éclairage*

1. Le vecteur  $n$  **normal** à la surface.
2. Le vecteur  $v$  de direction de **visualisation**.
3. Le vecteur  $s$  de direction de la **source lumineuse**.



150

★★★

## LES MODES DE RÉFLEXION DE LA LUMIÈRE

### *Diffusion et réflexion spéculaire*

1. **éparpillement diffus** (aspect poreux comme la craie, par exemple).
  - sans direction privilégiée de réémission,
  - forte interaction avec l'objet  
-> la lumière diffuse est donc fortement affectée par la couleur de la surface de l'objet.
2. **réflexion spéculaire** (aspect brillant comme le métal chromé, par exemple).
  - réflexion selon une direction privilégiée fonction de l'angle de la source avec la normale,
  - faible interaction avec l'objet  
-> la lumière réfléchie est donc proche de la lumière incidente, avec une composante plus ou moins importante de la couleur de l'objet.

La plupart des surfaces combinent les deux modes de réflexion de la lumière.

151

★★★

## CALCUL DE LA LUMIÈRE DIFFUSE 1/3

### *Réflexion diffuse non directionnelle*

- **lumière diffuse non directionnelle** donc indépendante de l'angle entre la normale et le vecteur de vue.
- **loi de Lambert** : la lumière diffuse dépend de l'angle entre la source et la normale à la surface.

$$I_d = I_{sd} \rho_d \cos a$$

$$I_d = I_{sd} \rho_d \max \left( \frac{s \cdot n}{|s| \cdot |n|}, 0 \right)$$

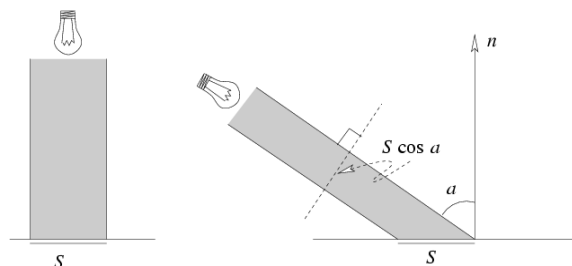
Les parties cachées ne sont pas éclairées

152

★★★

## CALCUL DE LA LUMIÈRE DIFFUSE 2/3

### *Illustration de la loi de Lambert*



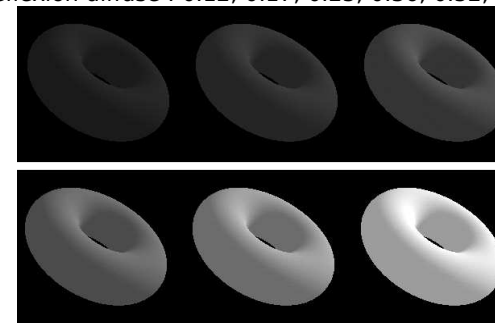
153

★★★

## CALCUL DE LA LUMIÈRE DIFFUSE 3/3

### *Quatorzes vues du tore à lumière identique et à coefficients de réflexion diffuse variable*

Coefficients de réflexion diffuse : 0.12, 0.17, 0.25, 0.36, 0.52, 0.75



154

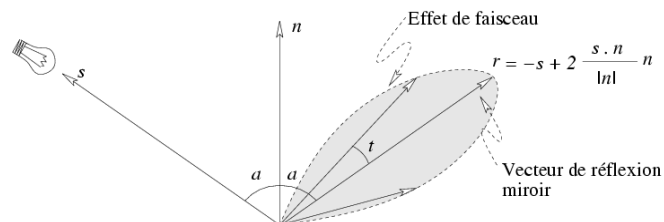
★★★

## CALCUL DE LA RÉFLEXION SPÉCULAIRE 1/6

### *Modèle de réflexion spéculaire*

**Effet de faisceau pour les surfaces réfléchissantes qui ne sont pas des miroirs parfaits :**

- la lumière est réfléchié maximale dans la direction de réflexion miroir parfaite  $r$ ,
- l'intensité de la lumière réfléchié diminue rapidement lorsqu'on s'éloigne de l'angle de réflexion.



155

★★★

## CALCUL DE LA RÉFLEXION SPÉCULAIRE 2/6

### *Calcul de la réflexion spéculaire dans le modèle de Phong*

Dans le **modèle de Phong**, l'intensité est une fonction  $\cos^f(t)$ .

Intensité de la composante spéculaire de la source

Intensité de la lumière spéculaire

Coefficient de réflexion spéculaire du matériau

Angle vue/réfléchi

$$I_s = I_{ss} \rho_s \cos^f t$$

$$I_s = I_{ss} \rho_s \max \left( \left( \frac{r \cdot v}{|r| \cdot |v|} \right)^f, 0 \right)$$

Les parties cachées ne sont pas éclairées

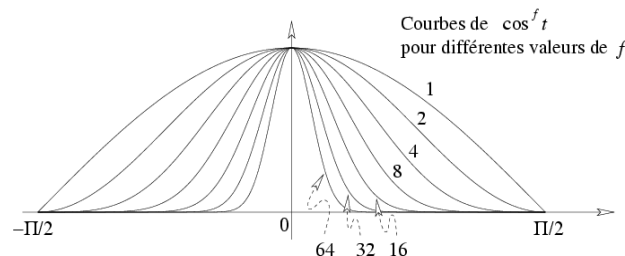
156

★★★

## CALCUL DE LA RÉFLEXION SPÉCULAIRE 3/6

### Rôle du paramètre $f$ dans le modèle de Phong

Plus  $f$  est grand plus on est proche d'un miroir parfait.



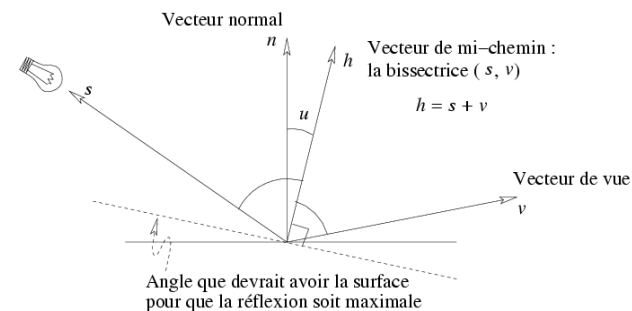
157

★★

## CALCUL DE LA RÉFLEXION SPÉCULAIRE 4/6

### Accélération du calcul par le vecteur de mi-chemin

Le **vecteur de mi-chemin** est la somme des vecteurs  $s$  (source) et  $v$  (vue). C'est la normale à la surface qui fournirait la réflexion maximale.



158

★★

## CALCUL DE LA RÉFLEXION SPÉCULAIRE 5/6

### Nouvelle formule pour la lumière spéculaire au moyen du vecteur de mi-chemin

L'angle  $u$  entre la normale et le vecteur de demi-chemin fournit une **indication de la baisse de l'intensité de la lumière spéculaire**.

On peut donc définir **une nouvelle formule de Phong** basée sur le cosinus de  $u$  :

$$I'_s = I_{ss} \rho_s \max \left( \left( \frac{h \cdot n}{|h| \cdot |n|} \right)^f, 0 \right)$$

Angle  $u$  avec le vecteur de demi-distance

**Avantage** : le **vecteur  $h$  est constant** sur la surface (indépendant de la norme) si l'observateur et la source lumineuse sont à l'infini.

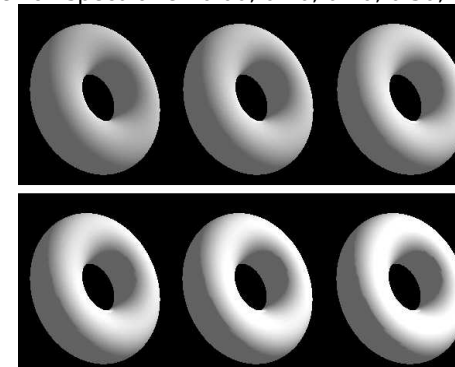
159

★★★

## CALCUL DE LA RÉFLEXION SPÉCULAIRE 6/6

### Six vues du tore à lumière identique et à coefficients de réflexion spéculaire variable

Coefficients de réflexion spéculaire : 0.00, 0.10, 0.20, 0.30, 0.40, 0.50



160



★★★

## LUMIÈRE AMBIANTE 1/2

### *Lumière de fond uniforme*

Elle produit une intensité constante qui ne dépend que du **coefficient de réflexion ambiant**.

Intensité de la lumière ambiante réfléchie

$$I_d = I_{sa} \rho_a$$

Intensité de la lumière ambiante

Coefficient de réflexion ambiante du matériau

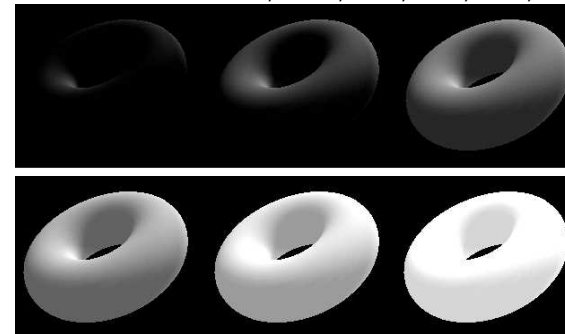
161

★★★

## LUMIÈRE AMBIANTE 2/2

*Six vues du tore à lumière de sources identiques et à lumière ambiante variable*

Valeurs de la lumière ambiante : -0.30, -0.15, 0.00, 0.15, 0.30, 0.45



162

★★★

## COMBINAISON DES LUMIÈRES

### *Combinaison des trois modes de réflexion*

Pour obtenir la luminosité total, on additionne les trois sources de réflexion lumineuses vues précédemment : **lumières ambiante, diffuse et spéculaire**.

Intensité lumineuse totale

$$I = I_{sa} \rho_a + I_{sd} \rho_d \max\left(\frac{s \cdot n}{|s| \cdot |n|}, 0\right) + I_{ss} \rho_s \max\left(\left(\frac{r \cdot v}{|r| \cdot |v|}\right)^f, 0\right)$$

Lumière ambiante      Lumière diffuse      Lumière spéculaire

163

★★

## GESTION COULEUR

### *Gestion de la couleur dans le calcul de la lumière*

On additionne l'intensité lumineuse de chacune des composantes de la couleur. Dans le système R, V, B, on ajoute les **intensités rouge, verte et bleue**.

On définit alors les **caractéristiques des sources et des matériaux** pour chacune de ces trois composantes.

Intensité lumineuse totale

$$I = I_R + I_V + I_B$$

Intensité lumineuse pour chacune des trois composantes R, V, B

$$\begin{cases} I_R = I_{saR} \rho_{aR} + I_{sdR} \rho_{dR} \text{ Lambert} + I_{ssR} \rho_{sR} \text{ Phong}^f \\ I_V = I_{saV} \rho_{aV} + I_{sdV} \rho_{dV} \text{ Lambert} + I_{ssV} \rho_{sV} \text{ Phong}^f \\ I_B = I_{saB} \rho_{aB} + I_{sdB} \rho_{dB} \text{ Lambert} + I_{ssB} \rho_{sB} \text{ Phong}^f \end{cases}$$

164

★★★

## SOURCES LUMINEUSES EN OpenGL

Toute source lumineuse est définie par trois vecteurs de quatre composantes (rouge, vert, bleu, alpha) :

- **lumière ambiante** (valeur par défaut <0, 0, 0, 1>),
- **lumière diffuse** (valeur par défaut <1, 1, 1, 1>),
- **lumière spéculaire** (valeur par défaut <1, 1, 1, 1>) et
- une **position** définie par quatre coordonnées homogènes (x, y, z, 1) pour une source à distance finie ou
- une **direction** définie par quatre coordonnées homogènes (x, y, z, 0) pour une source à distance infinie (vecteur orienté de l'objet vers la source lumineuse).

### *Atténuation*

- **atténuation radiale pour les spots** : 2 paramètres **l'angle d'extinction A** (l'angle au-delà duquel c'est l'obscurité) et **un exposant n** définissant l'atténuation en fonction de l'angle *a* avec la direction d'émission ( $\cos^n(a)$ ).
- **atténuation en fonction de la distance D** : trois paramètres ( $k_1, k_2, k_3$ ) contrôlent l'atténuation (atténuation *constante*, *linéaire* et *quadratique*) : atténuation =  $1 / (k_1 + k_2 D + k_3 D^2)$

165

★★★

## MATÉRIAUX EN OpenGL

### *Matériaux*

Toute surface a deux faces (une face **avant** et une face **arrière**) avec leurs propres paramètres de matériau.

Toute face de matériau est définie par quatre vecteurs de quatre composantes (rouge, vert, bleu, alpha) :

- **coefficient de réflexion ambiant** (valeur par défaut <0, 0, 0, 1>),
- **coefficient de réflexion diffus** (valeur par défaut <1, 1, 1, 1>),
- **coefficient de réflexion spéculaire** (valeur par défaut <1, 1, 1, 1>),
- **coefficient d'émission** (objet luminescent) (valeur par défaut <0, 0, 0, 1>).

166

★

## CARACTÉRISTIQUES DE CERTAINS MATÉRIAUX 1/3

### *Tables de caractéristiques lumineuses de certains métaux*

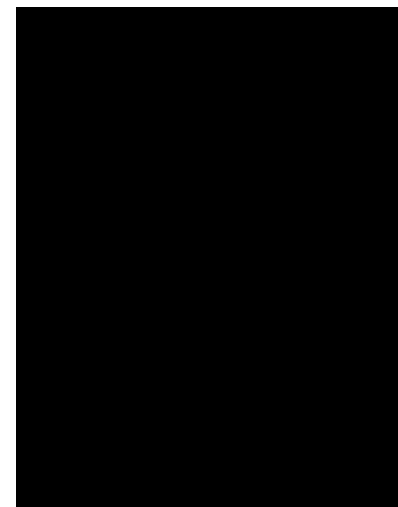
**Source** : *Programming with OpenGL: Advanced Rendering*, Copyright ©1997 by Tom McReynolds and David Blythe. SIGGRAPH '97 Course .

<http://www.sgi.com/software/opengl/advanced97/notes/node84.html>

167

★

## CARACTÉRISTIQUES DE CERTAINS MATÉRIAUX 2/3



168

★

## CARACTÉRISTIQUES DE CERTAINS MATÉRIAUX 3/3



169

★★★

## LUMIÈRE TOTALE

### *Généralisation à n sources*

La lumière totale s'obtient en sommant :

- le **rayonnement**  $e$  de l'objet,
- la réflexion de la **lumière ambiante**  $I_a$ ,
- la réflexion des **trois composantes des sources lumineuses** dont l'intensité est modulée par l'effet de spot  $spot$  et par l'atténuation  $attén.$  due à la distance.

$$I = e + I_a \rho_a + \frac{\sum_{s \text{ dans sources}} attén. \times spot \times (I_{sa} \rho_a + I_{sd} \rho_d^{Lambert} + I_{ss} \rho_s^{Phong^f})}{K_1 + K_2 D + K_3 D^2}$$

$\cos^n \alpha \text{ si } \alpha < A$

170

★★★

## OMBAGE : INTERPOLATION

### *Ombage plat*

Les surfaces complexes sont représentées par des **maillages polygonaux**

La **définition d'une normale à chaque sommet** du maillage permet de fournir une valeur de la lumière en ce sommet

Si la lumière n'est pas **interpolée** d'un sommet à l'autre, on obtient un **ombage plat**, identique sur toute la face du polygone.

On prend comme **vecteur normal de face**, la **moyenne des vecteurs normaux de sommets**.

### *Ombage doux*

Pour obtenir un dégradé dans les ombrages et le rendu d'une surface lisse, il existe deux techniques principales d'**ombage doux** :

- l'**ombage de Gouraud** (interpolation des **intensités**) et
- l'**ombage de Phong** (interpolation des **normales**).

171

★★★

## OMBAGE DE GOURAUD 1/2

### *Définition de l'ombage de Gouraud*

L'ombage de Gouraud consiste :

- sur une **arête**, à **interpoler les valeurs entre deux sommets**,
- sur une **ligne de remplissage** d'un polygone (par exemple par l'algorithme de scan-line), à **interpoler les valeurs entre deux arêtes**

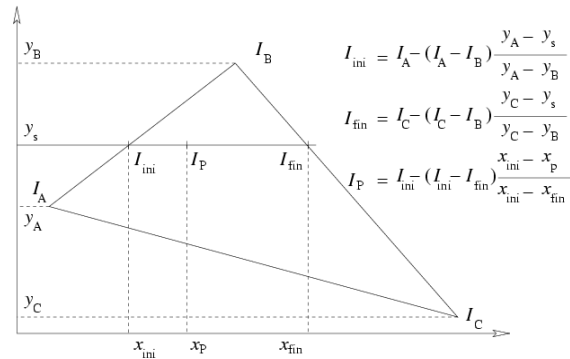
Ce type d'interpolation a été vu à l'exercice 2 du TD4.

172

★★★

## OMBRADE DE GOURAUD 2/2

### Ombrage de Gouraud : calculs



173

★★

## OMBRADE DE PHONG 1/2

### Définition de l'ombrage de Phong

L'ombrage de Phong consiste :

- sur une **arête**, à **interpoler les vecteurs normaux** entre deux sommets,
- sur une **ligne de remplissage** d'un polygone (par exemple par l'algorithme de scan-line), à **interpoler les vecteurs normaux** entre deux arêtes

L'ombrage de Phong est de meilleure qualité que l'ombrage de Gouraud :

- l'ombrage de Gouraud approxime toute face par un **plan** alors que
- l'ombrage de Phong prend en compte la **courbure** des faces.

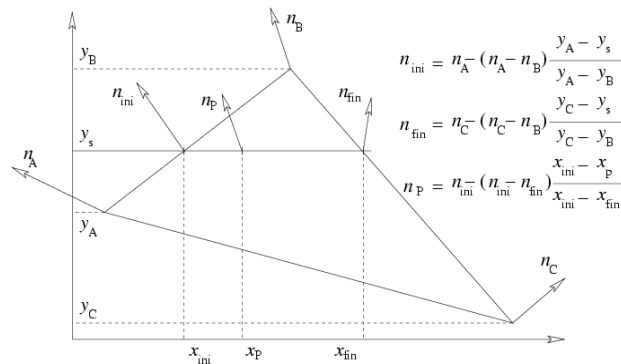
... **mais** l'ombrage de Phong est plus **coûteux** que l'ombrage de Gouraud.

174

★★

## OMBRADE DE PHONG 2/2

### Ombrage de Phong : calculs



175

★★

## MODÈLES ÉCLAIREMENT LOCAL 1/5

### Autres modèles d'éclairage local

Les **modèles de Gouraud et de Phong** ne sont pas les seuls modèles de réflexion locale.

Tout modèle de réflexion locale propose une **approximation d'une réflexion parfaite** ou une **simulation d'une surface imparfaite**.

176

★★

## MODÈLES ÉCLAIREMENT LOCAL 2/5

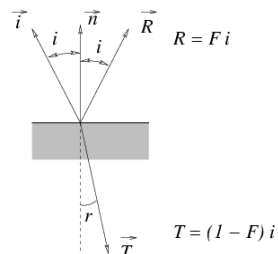
### Formule de Fresnel: surface parfaite

Coefficient  $F$  qui relie le taux d'énergie transmise et réfléchi en fonction de l'angle d'incidence et des propriétés du matériau.

$$F = \frac{1}{2} \left( \frac{\sin^2(i - r)}{\sin^2(i + r)} + \frac{\tan^2(i - r)}{\tan^2(i + r)} \right)$$

avec  $\sin r = \frac{\sin i}{\mu}$

$\mu$  indice de réfraction du matériau



177

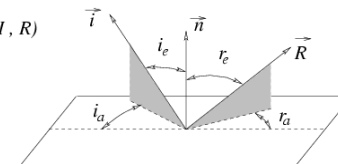
★★

## MODÈLES ÉCLAIREMENT LOCAL 3/5

### BRDF: fonction de distribution de la réflectance bidirectionnelle

Fonction qui relie la **lumière dans une direction incidente L** à la **lumière réfléchi dans une direction V** exprimée en fonction des angles d'incidence et de réflexion.

$$BRDF = f(i_a, i_e, r_a, r_e) = f(I, R)$$



178

★★

## MODÈLES ÉCLAIREMENT LOCAL 4/5

### Précalcul du modèle BRDF dans le cas de surfaces anisotropes

**Surfaces anisotropes:** la forme du BRDF dépend de l'azimut de l'angle d'incidence.

Un *métal brossé* est une surface **anisotrope** pour laquelle la taille du *lobe spéculaire* (la distribution de la lumière réfléchi en fonction de l'angle de réflexion) dépend de l'orientation de la lumière incidente.

179

★★

## MODÈLES ÉCLAIREMENT LOCAL 5/5

### Précalcul du modèle BRDF (suite et fin)

Modélisation (Cabral et al. 1987)

1. On modélise la surface par des microfacettes triangulaires dont les sommets ont une hauteur donnée par une bump map.
2. On subdivise la demi-sphère en cellules élémentaires.
3. Pour chaque couple de cellules  $(c, c')$ , on calcule la lumière de  $c$  réfléchi dans  $c'$  en fonction de la géométrie des facettes.

Voir également le modèle de micro-facettes de Cook-Torrance dans le cours sur le lancé de rayon.

180